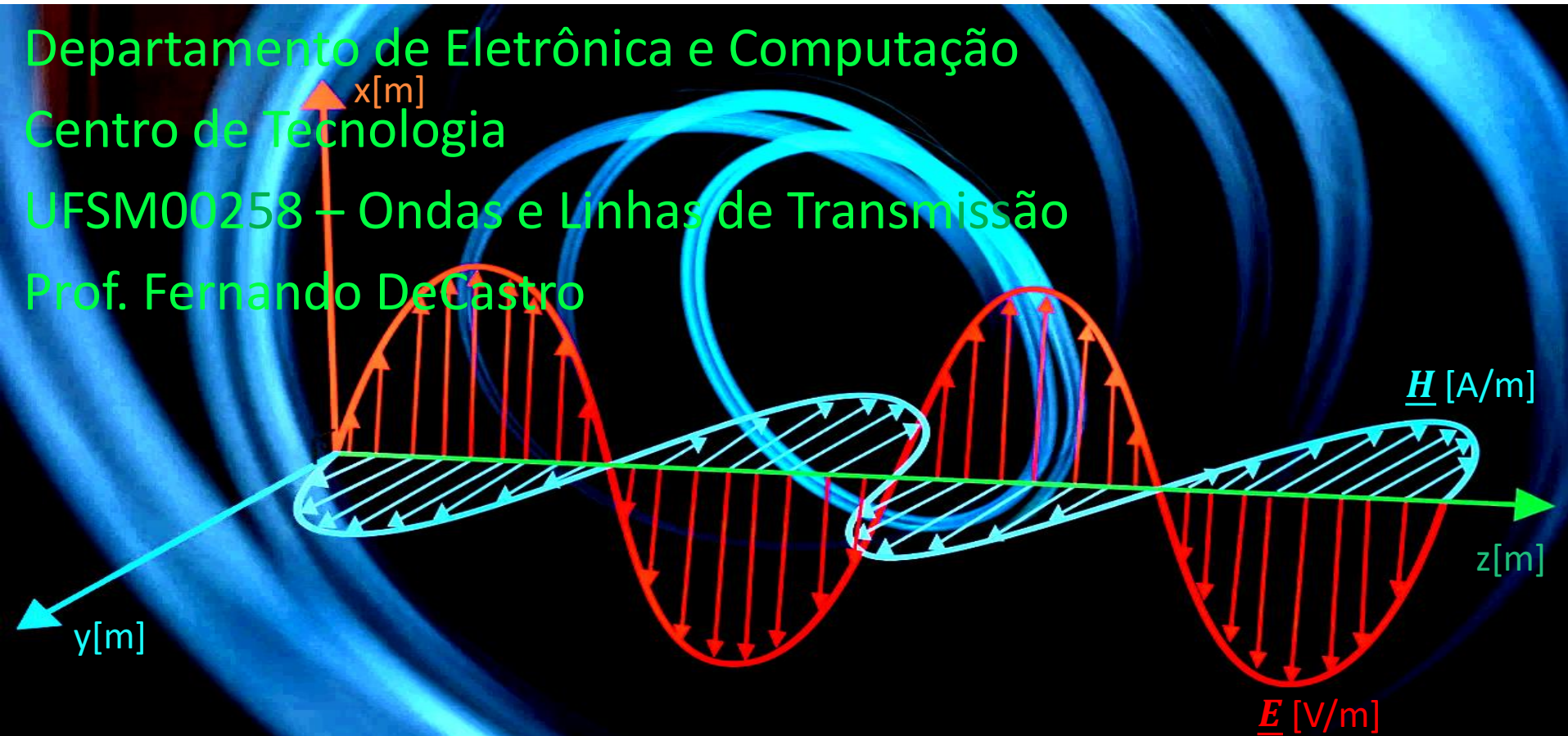


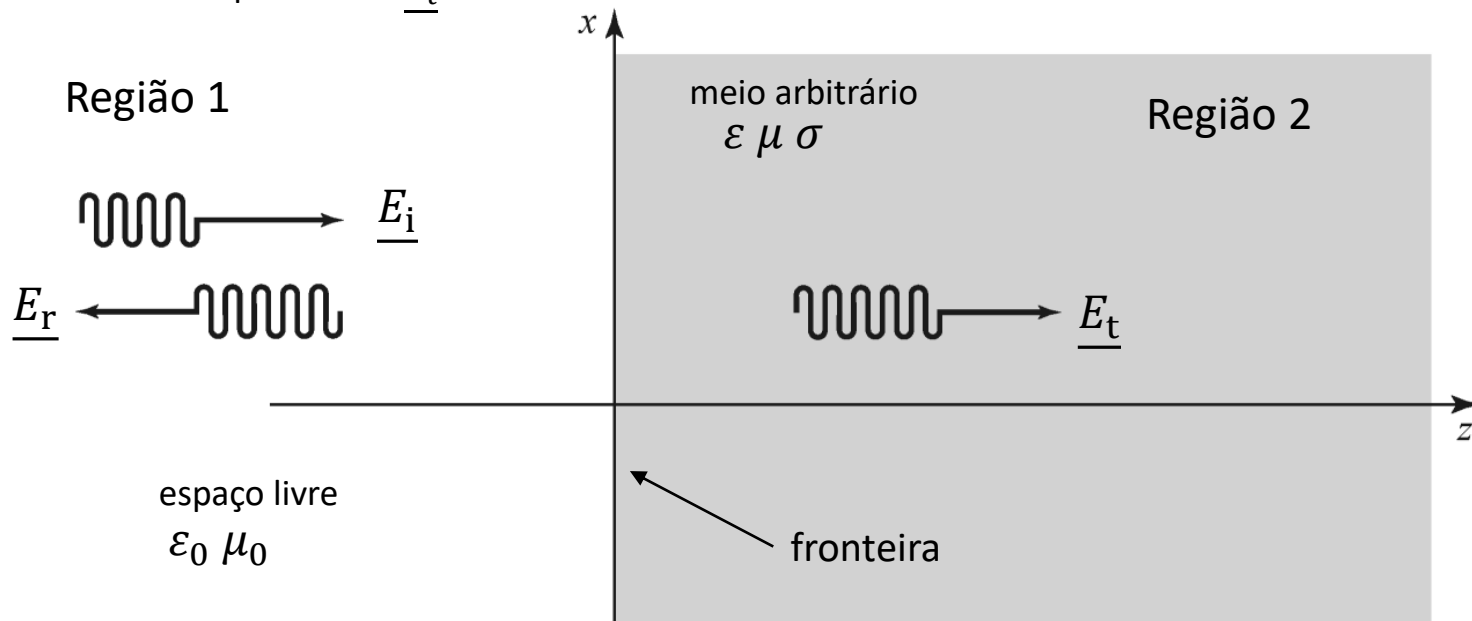
Reflexão e transmissão de ondas EM planas em fronteiras, reflexão e transmissão sob incidência oblíqua à fronteira, ângulo de Brewster, reflexão total. Ondas estacionárias.



## Reflexão e transmissão de ondas EM planas em fronteiras

Várias situações de análise e projeto de sistemas de telecomunicações envolvem o comportamento de campos EM na fronteira entre vários tipos de meios de propagação da onda EM, incluindo meios sem perdas, meios com perdas, meios condutores e meios condutores perfeitos (PEC – *perfect electric conductor*, em que a condutividade  $\sigma$  é muito grande, como o ouro ou o cobre).

Neste contexto, é instrutivo e útil analisar a reflexão de uma onda EM plana normalmente incidente do espaço livre em um *half space* (meio-espaço) de um material arbitrário. A geometria é mostrada na figura abaixo, onde o *half space* definido para  $z > 0$  é caracterizado pelos parâmetros permissividade  $\varepsilon$  [F/m], permeabilidade  $\mu$  [H/m] e condutividade  $\sigma$  [mho/m]. A polarização da onda EM é tal que o campo elétrico  $\underline{E}$  [V/m] é orientado de acordo com o eixo  $x$  do sistema cartesiano de referência do espaço  $\mathbb{R}^3$ . Note na figura que uma onda EM com campo elétrico  $\underline{E}_i$  se propaga no espaço livre no sentido do eixo  $+z$  e incide na fronteira do espaço livre com o material de parâmetros  $\varepsilon$ ,  $\mu$  e  $\sigma$ . Uma parcela da onda incidente  $\underline{E}_i$  se reflete na fronteira e retorna na forma de uma onda EM refletida  $\underline{E}_r$  que se propaga no sentido do eixo  $-z$ . Uma outra parcela de  $\underline{E}_i$  atravessa a fronteira e se propaga no meio com parâmetros  $\varepsilon$ ,  $\mu$  e  $\sigma$  no sentido do eixo  $+z$  na forma de uma onda EM transmitida com campo elétrico  $\underline{E}_t$ .



## Reflexão e transmissão de ondas EM planas em fronteiras

No espaço livre, i.e., para  $z < 0$ , se propagam as ondas do campo elétrico  $\underline{E}_i$  e do campo magnético  $\underline{H}_i$ , ambas incidentes na fronteira. A partir das equações (23) e (33) do Cap II.3  $\underline{E}_i$  e  $\underline{H}_i$  são dados por:

$$\underline{E}_i = E_0 e^{-jk_0 z} \hat{\underline{i}} \quad [\text{V/m}] \quad (1)$$

$$\underline{H}_i = \frac{E_0}{\eta_0} e^{-jk_0 z} \hat{\underline{j}} \quad [\text{A/m}] \quad (2)$$

onde  $E_0$  [V/m] é a amplitude do campo elétrico incidente,  $k_0 = \frac{2\pi}{\lambda}$  [rad/m] é a constante de propagação no espaço livre,  $\lambda = \frac{c}{f}$  [m] é o comprimento de onda no espaço livre da onda EM de frequência  $f$  [Hz],  $c = \frac{1}{\sqrt{\mu_0 \epsilon_0}} = 2.99792458 \times 10^8$  [m/s] é a velocidade de propagação da luz no espaço livre,  $\epsilon_0 = 8.8541878128 \times 10^{-12}$  [F/m],  $\mu_0 = 4\pi \times 10^{-7}$  [H/m] e  $\eta_0 = \sqrt{\frac{\mu_0}{\epsilon_0}} = 120\pi \approx 377$  [ $\Omega$ ] é a impedância característica do meio de propagação (no caso, o espaço livre) da onda EM.

No mesmo espaço livre para  $z < 0$  se propaga a onda EM refletida na fronteira, cujos campo elétrico  $\underline{E}_r$  e o campo magnético  $\underline{H}_r$  são dados por (ver equações (23) e (33) do Cap II.3):

$$\underline{E}_r = E_0 \Gamma e^{jk_0 z} \hat{\underline{i}} \quad [\text{V/m}] \quad (3)$$

$$\underline{H}_r = -\frac{E_0 \Gamma}{\eta_0} e^{jk_0 z} \hat{\underline{j}} \quad [\text{A/m}] \quad (4)$$

onde  $\Gamma$  é o denominado **coeficiente de reflexão**.  $\Gamma$  indica a parcela da onda incidente  $\underline{E}_i$  que se refletiu na fronteira e retorna na forma da onda EM refletida  $\underline{E}_r$ . Note em (3) e (4) que o argumento das exponenciais é positivo, indicando que a onda EM refletida  $\underline{E}_r$  se propaga na direção  $-z$ .

Da equação (13) do Cap III.1, para o *half-space*  $z < 0$  (Região 1) o valor negativo do vetor de Poynting  $\underline{S}_r = \frac{1}{2} \underline{E}_r \times \underline{H}_r^* = \frac{1}{2} E_0 \Gamma e^{jk_0 z} \hat{\underline{i}} \times \left( -\frac{E_0 \Gamma}{\eta_0} e^{jk_0 z} \hat{\underline{j}} \right)^* = \frac{1}{2} E_0 \Gamma e^{jk_0 z} \hat{\underline{i}} \times \left( -\frac{E_0^* \Gamma^*}{\eta_0} e^{-jk_0 z} \hat{\underline{j}} \right) = -\frac{|E_0|^2 |\Gamma|^2}{2\eta_0} \hat{\underline{k}}$  [VA/m<sup>2</sup>] indica que a potência da onda EM refletida na fronteira está se propagando na direção  $-z$ , o que corrobora com o parágrafo anterior.

Note também que o sinal “-” em (4) indica que a onda do campo magnético refletido  $\underline{H}_r$  apresenta uma inversão de fase de 180° em relação à onda do campo magnético incidente  $\underline{H}_i$  dado por (2). Este sinal “-” em (4) decorre da solução da Equação de Helmholtz para o campo magnético, conforme vimos na dedução da equação (33) nos slides 16 e 17 do Cap II.3.

## Reflexão e transmissão de ondas EM planas em fronteiras

No meio arbitrário com parâmetros  $\epsilon$ ,  $\mu$  e  $\sigma$ , i.e., para  $z > 0$ , se propagam as ondas do campo elétrico  $\underline{E}_t$  e do campo magnético  $\underline{H}_t$ , ambas transmitidos através da fronteira. A partir das equações (40) e (44) do Cap II.4  $\underline{E}_t$  e  $\underline{H}_t$  são dados por:

$$\underline{E}_t = E_0 T e^{-\gamma z} \underline{\hat{i}} \quad [\text{V/m}] \quad (5)$$

$$\underline{H}_t = \frac{E_0 T}{\eta} e^{-\gamma z} \underline{\hat{j}} \quad [\text{A/m}] \quad (6)$$

onde  $\gamma$  é a constante de propagação complexa dada pela equação (37) do Cap II.4, abaixo reproduzida por comodidade de visualização:

$$\gamma = \alpha + j\beta = j\omega\sqrt{\mu\epsilon} \sqrt{\left(1 - \frac{j\sigma}{\omega\epsilon}\right)} \quad [1/\text{m}] \quad (7)$$

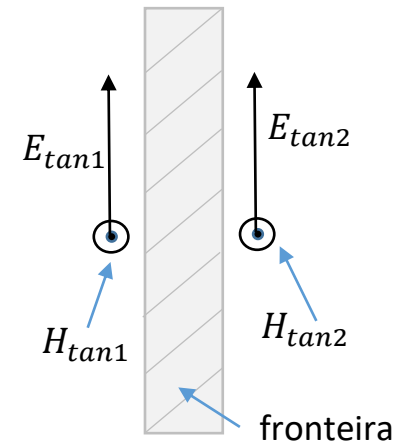
e onde T é o denominado **coeficiente de transmissão**. T indica a parcela da onda incidente  $\underline{E}_i$  que atravessou a fronteira e se propaga adiante no *half-space*  $z > 0$  na forma da onda EM transmitida  $\underline{E}_t$ . A constante  $\eta$  é a impedância característica do *half-space*  $z > 0$  dada pela equação (45) do Cap II.4, abaixo reproduzida:

$$\eta = \frac{j\omega\mu}{\gamma} \quad [\Omega] \quad (8)$$

O próximo passo em nossa análise da reflexão da onda EM na fronteira entre o espaço livre e um meio arbitrário será determinar os coeficientes  $\Gamma$  e T a partir dos parâmetros dos dois meios. Para tanto, vamos considerar que a fronteira é uniforme e tem uma espessura infinitesimal, de modo os campos elétrico e magnético tangenciais à fronteira precisam ser iguais em ambos os lados 1 e 2 da fronteira, conforme mostra a figura ao lado (i.e. os campos mantêm continuidade ao atravessar a fronteira). Em outras palavras, é necessário que:

$$E_{tan1} = E_{tan2} \quad [\text{V/m}] \quad (9)$$

$$H_{tan1} = H_{tan2} \quad [\text{A/m}] \quad (10)$$



## Reflexão e transmissão de ondas EM planas em fronteiras

O plano da fronteira encontra-se em  $z = 0$  (ver figura no slide 2). Exatamente na fronteira em  $z = 0$  há uma onda EM incidente  $\underline{E}_i$  e uma onda EM refletida  $\underline{E}_r$  no lado 1 (espaço livre). Estas duas ondas se superpõe de modo que de (1) e (3) temos:

$$E_{tan1} = \underline{E}_i + \underline{E}_r = E_0 + E_0\Gamma \quad [\text{V/m}] \quad (11)$$

Exatamente na fronteira em  $z = 0$ , mas agora no lado 2 da mesma (meio arbitrário com parâmetros  $\epsilon$ ,  $\mu$  e  $\sigma$ ), há uma onda EM transmitida  $\underline{E}_t$ , de modo que de (5) temos:

$$E_{tan2} = \underline{E}_t = E_0T \quad [\text{V/m}] \quad (12)$$

Substituindo (11) e (12) em (9) resulta:

$$1 + \Gamma = T \quad (13)$$

Agora, fazendo a mesma análise para o campo magnético. Exatamente na fronteira em  $z = 0$  há uma onda EM incidente  $\underline{H}_i$  e uma onda EM refletida  $\underline{H}_r$  no lado 1 (espaço livre). Estas duas ondas se superpõe de modo que de (2) e (4) temos:

$$H_{tan1} = \underline{H}_i + \underline{H}_r = \frac{E_0}{\eta_0} - \frac{E_0\Gamma}{\eta_0} \quad [\text{A/m}] \quad (14)$$

Exatamente na fronteira em  $z = 0$ , mas agora no lado 2 da mesma (meio arbitrário com parâmetros  $\epsilon$ ,  $\mu$  e  $\sigma$ ), há uma onda EM transmitida  $\underline{H}_t$ , de modo que de (6) temos:

$$H_{tan2} = \underline{H}_t = \frac{E_0T}{\eta} \quad [\text{A/m}] \quad (15)$$

Substituindo (14) e (15) em (10) resulta:

$$\frac{1 - \Gamma}{\eta_0} = \frac{T}{\eta} \quad (16)$$

## Reflexão e transmissão de ondas EM planas em fronteiras

Resolvendo o sistema de equações definido por (13) e (16) para as incógnitas  $\Gamma$  e  $T$  resulta em:

$$\Gamma = \frac{\eta - \eta_0}{\eta + \eta_0} \quad (17)$$

$$T = 1 + \Gamma = \frac{2\eta}{\eta + \eta_0} \quad (18)$$

Note que (17) e (18) constituem uma solução geral para a reflexão e transmissão de uma onda EM normalmente incidente na fronteira entre o espaço livre e um material arbitrário, onde  $\eta$  é a impedância intrínseca do material e  $\eta_0$  é a impedância do espaço livre.

A partir deste resultado, e considerando a figura no slide 2, nos próximos slides vamos analisar três casos de particular interesse em telecomunicações: (1) A Região 2 é um meio sem perdas, (2) a Região 2 é um meio bom condutor e (3) a Região 2 é um meio condutor perfeito. A análise será baseada na transferência de potência através da fronteira e na reflexão de potência na fronteira, e, para tanto, usaremos o conceito de Vetor de Poynting, visto no Cap III.1.

## Reflexão e transmissão da onda EM plana em fronteira entre o espaço livre e um meio sem perdas

Para o caso em que o *half-space*  $z > 0$  é um material dielétrico sem perdas, fica implícito que a condutividade  $\sigma$  é zero e a permeabilidade  $\mu$  e a permissividade  $\varepsilon$  são valores reais (i.e., não-complexos). A constante de propagação  $\gamma$  neste caso é puramente imaginária e dada por

$$\gamma = j\beta = j\omega\sqrt{\mu\varepsilon} = jk_0\sqrt{\mu_r\varepsilon_r} \quad [\text{rad/m}] \quad (19)$$

onde  $k_0 = \omega\sqrt{\mu_0\varepsilon_0}$  [rad/m] é a constante de propagação para uma onda EM plana no espaço livre. O comprimento de onda da onda EM que se propaga no meio dielétrico sem perdas é

$$\lambda = \frac{2\pi}{\beta} = \frac{2\pi}{\omega\sqrt{\mu\varepsilon}} = \frac{\lambda_0}{\sqrt{\mu_r\varepsilon_r}} \quad [\text{m}] \quad (20)$$

onde  $\lambda_0 = c/f$  [m] é o comprimento de onda no espaço livre da onda EM de frequência  $f$  [Hz]. A velocidade de propagação (=velocidade de fase) da onda EM que se propaga no meio dielétrico sem perdas é

$$v_p = \frac{\omega}{\beta} = \frac{1}{\sqrt{\mu\varepsilon}} = \frac{c}{\sqrt{\mu_r\varepsilon_r}} \quad [\text{m/s}] \quad (21)$$

Importante notar em (20) e (21) que o comprimento de onda  $\lambda$  e a velocidade de fase  $v_p$  no dielétrico são menores por um fator  $\frac{1}{\sqrt{\mu_r\varepsilon_r}}$  em relação ao comprimento de onda  $\lambda_0$  e a velocidade de fase  $c$  da onda EM que se propaga no espaço livre. A impedância característica do *half-space*  $z > 0$  é obtida da equação (8) do slide 4:

$$\eta = \frac{j\omega\mu}{\gamma} = \sqrt{\frac{\mu}{\varepsilon}} = \eta_0 \sqrt{\frac{\mu_r}{\varepsilon_r}} \quad [\Omega] \quad (22)$$

onde  $\eta_0 = \sqrt{\frac{\mu_0}{\varepsilon_0}} = 120\pi \approx 377$  [ $\Omega$ ] é a impedância característica do espaço livre.

## Reflexão e transmissão da onda EM plana em fronteira entre o espaço livre e um meio sem perdas

Note que para este caso em que o *half-space*  $z > 0$  é um material dielétrico sem perdas, a impedância característica  $\eta$  dada por (22) é um número real, e daí, os coeficientes de reflexão  $\Gamma$  e transmissão  $T$  dados por (17) e (18) resultam também em números reais. Em consequência, o campo  $\underline{E}$  e o campo  $\underline{H}$  encontram-se em fase tanto na Região 1 como na Região 2 (ver figura no slide 2).

O fluxo direcional de potência das ondas EM que se propagam na Região 1 e na Região 2 pode ser determinado através do Vetor de Poynting  $\underline{S}$ , especificamente através da equação (13) no slide 5 do Cap III.1.

Para o *half-space*  $z < 0$  (Região 1) o vetor de Poynting  $\underline{S}^-$  é determinado da equação (13) do Cap III.1 a partir do campo  $\underline{E}$  total e do campo  $\underline{H}$  total que resultam da superposição da onda incidente e da onda refletida, tanto para  $\underline{E}$  como para  $\underline{H}$ , conforme equações (1), (2), (3) e (4) :

$$\begin{aligned} \underline{S}^- &= \frac{1}{2} \underline{E} \times \underline{H}^* = \frac{1}{2} (\underline{E}_i + \underline{E}_r) \times (\underline{H}_i + \underline{H}_r)^* = \frac{1}{2} (E_0 e^{-jk_0 z} \hat{i} + E_0 \Gamma e^{jk_0 z} \hat{i}) \times \left( \frac{E_0}{\eta_0} e^{-jk_0 z} \hat{j} - \frac{E_0 \Gamma}{\eta_0} e^{jk_0 z} \hat{j} \right)^* = \\ &= \frac{1}{2} \hat{i} (E_0 e^{-jk_0 z} + E_0 \Gamma e^{jk_0 z}) \times \hat{j} \left( \frac{E_0^*}{\eta_0} e^{jk_0 z} - \frac{E_0^* \Gamma^*}{\eta_0} e^{-jk_0 z} \right) = \hat{k} \frac{|E_0|^2}{2\eta_0} (e^{-jk_0 z} + \Gamma e^{jk_0 z})(e^{jk_0 z} - \Gamma^* e^{-jk_0 z}) = \\ &= \hat{k} \frac{|E_0|^2}{2\eta_0} (1 - \Gamma^* e^{-j2k_0 z} + \Gamma e^{j2k_0 z} - |\Gamma|^2) = \hat{k} \frac{|E_0|^2}{2\eta_0} (1 - |\Gamma|^2 + \Gamma e^{j2k_0 z} - \Gamma^* e^{-j2k_0 z}) = \\ &= \hat{k} \frac{|E_0|^2}{2\eta_0} \left( 1 - |\Gamma|^2 + 2j\Gamma \frac{(e^{j2k_0 z} - e^{-j2k_0 z})}{2j} \right) = \hat{k} \frac{|E_0|^2}{2\eta_0} (1 - |\Gamma|^2 + 2j\Gamma \sin(2k_0 z)) \quad [\text{VA/m}^2] \end{aligned} \quad (23)$$

↙  $\Gamma$  é real, então  $\Gamma^* = \Gamma$

Para o *half-space*  $z > 0$  (Região 2) o vetor de Poynting  $\underline{S}^+$  é determinado da equação (13) do Cap III.1 e das equações (5) e (6):

$$\begin{aligned} \underline{S}^+ &= \frac{1}{2} \underline{E} \times \underline{H}^* = \frac{1}{2} \underline{E}_t \times \underline{H}_t^* = \frac{1}{2} E_0 T e^{-\gamma z} \hat{i} \times \left( \frac{E_0 T}{\eta} e^{-\gamma z} \hat{j} \right)^* = \hat{k} E_0 T e^{-j\beta z} \frac{E_0^* T^*}{2\eta} e^{+j\beta z} = \hat{k} \frac{|E_0|^2 |T|^2}{2\eta} = \hat{k} \frac{|E_0|^2 \left| \frac{2\eta}{\eta + \eta_0} \right|^2}{2\eta} = \\ &= \hat{k} \frac{|E_0|^2 \left| \frac{2\eta}{\eta + \eta_0} \right|^2}{2\eta} = \hat{k} \frac{|E_0|^2 \frac{4\eta^2}{(\eta + \eta_0)^2}}{2\eta} = \hat{k} |E_0|^2 \frac{2\eta}{(\eta + \eta_0)^2} = \hat{k} \frac{|E_0|^2}{2} \frac{1}{\eta_0} (1 - |\Gamma|^2) \quad [\text{VA/m}^2] \end{aligned} \quad (24)$$

↙ equação (18)

↙ equação (17)

Note de (23) e (24) que  $\underline{S}^- = \underline{S}^+$  na fronteira em  $z = 0$ . Isto indica que quando a onda EM atravessa a fronteira o fluxo direcional de potência complexa (fluxo de potência útil e fluxo de potência reativa) é conservado na vizinhança infinitesimal da fronteira entre o espaço livre e o material dielétrico sem perdas.

## Reflexão e transmissão da onda EM plana em fronteira entre o espaço livre e um meio sem perdas

Vamos agora analisar o fluxo direcional de potência útil na Região 1 e na Região 2.

Para obter o fluxo direcional de potência útil  $P^-$  na Região 1 (i.e. a potência útil em [W] que atravessa um plano de área  $1 \text{ m}^2$  perpendicular à direção de propagação no eixo  $z$ ) vamos usar a seguinte expressão (o produto escalar entre o vetor de Poynting  $\underline{\mathcal{S}}^-$  e o vetor unitário  $\underline{\hat{k}}$  se faz necessário para que o resultado seja uma potência escalar):

$$P^- = \frac{1}{2} \text{Re}(\underline{\mathcal{S}}^- \cdot \underline{\hat{k}}) \quad [\text{W}/\text{m}^2] \quad (25)$$

Substituindo (23) em (25):

$$P^- = \frac{1}{2} \text{Re} \left( \underline{\hat{k}} \frac{|E_0|^2}{\eta_0} (1 - |\Gamma|^2 + 2j\Gamma \sin(2k_0 z)) \cdot \underline{\hat{k}} \right) = \frac{1}{2} \frac{|E_0|^2}{\eta_0} (1 - |\Gamma|^2) \quad [\text{W}/\text{m}^2] \quad (26)$$

De maneira similar, de (24), para obter o fluxo direcional de potência útil  $P^+$  na Região 2 (i.e. a potência útil em [W] que atravessa um plano de área  $1 \text{ m}^2$  perpendicular à direção de propagação no eixo  $z$ ) fazemos:

$$P^+ = \frac{1}{2} \text{Re}(\underline{\mathcal{S}}^+ \cdot \underline{\hat{k}}) = \frac{1}{2} \text{Re} \left( \underline{\hat{k}} |E_0|^2 \frac{1}{\eta_0} (1 - |\Gamma|^2) \cdot \underline{\hat{k}} \right) = \frac{1}{2} |E_0|^2 \frac{1}{\eta_0} (1 - |\Gamma|^2) \quad [\text{W}/\text{m}^2] \quad (27)$$

Portanto, como  $P^- = P^+$  para o caso em que o *half-space*  $z > 0$  (Região 2) é um material dielétrico sem perdas e a Região 1 é o espaço livre, então, para este caso, o fluxo direcional de potência útil é conservado quando a onda EM se propaga da Região 1 para a Região 2. **Em termos práticos isto significa que uma onda EM se propagando no espaço livre, quando esta incide e penetra em uma parede de material dielétrico de baixas perdas (teflon, poliestireno, polietileno, etc ...), a atenuação resultante por perdas dielétricas é desprezível no interior da parede.**

## Reflexão e transmissão da onda EM plana em fronteira entre o espaço livre e um meio bom condutor

Para o caso em que o *half-space*  $z > 0$  é um material bom condutor (mas não um condutor perfeito), a constante de propagação  $\gamma$  é dada pela equação (46) no slide 31 do Cap II.5, abaixo reproduzida:

$$\gamma = \alpha + j\beta = (1 + j)\sqrt{\frac{\omega\mu\sigma}{2}} = (1 + j)\frac{1}{\delta} \quad [1/m] \quad (28)$$

onde  $\delta = 1/\alpha$  é o *skin depth* (ver equação (51) no slide 33 do Cap II.5). A impedância característica do meio bom condutor é dada pela equação (47) no slide 31 do Cap II.5, abaixo reproduzida:

$$\eta = (1 + j)\sqrt{\frac{\omega\mu}{2\sigma}} = 1e^{j45^\circ}\sqrt{\frac{\omega\mu}{\sigma}} = (1 + j)\frac{1}{\sigma\delta} \quad [\Omega] \quad (29)$$

Como a impedância característica  $\eta$  do meio bom condutor dada por (29) tem um ângulo de fase de  $45^\circ$  então o campo  $\underline{H}$  está atrasado de  $45^\circ$  em relação ao campo  $\underline{E}$ . E daí o coeficiente de reflexão  $\Gamma$  e o coeficiente de transmissão  $T$  dados por (17) e (18) serão valores complexos.

Passamos agora a determinar o fluxo direcional de potência das ondas EM que se propagam na Região 1 e na Região 2 através do Vetor de Poynting  $\underline{\mathcal{S}}$ , da mesma forma que fizemos para o caso em que a Região 2 é um dielétrico sem perdas.

Dado que a Região 1 ( $z < 0$ ) é o espaço livre sem perdas, e dado que quando a onda EM atravessa a fronteira o fluxo direcional de potência complexa (fluxo de potência útil e fluxo de potência reativa) é conservado na vizinhança infinitesimal da fronteira, então basta determinar  $\underline{\mathcal{S}}^-$  para  $z = 0$ . Efetuando um desenvolvimento algébrico similar ao do slide 8 e **mantendo em mente que agora  $\Gamma$  e  $T$  são valores complexos**, obtemos:

$$\underline{\mathcal{S}}^-(z = 0) = \frac{1}{2}\underline{E} \times \underline{H}^*(z = 0) = \hat{k}\frac{|E_0|^2}{2\eta_0}(1 - |\Gamma|^2 + \Gamma - \Gamma^*) = \hat{k}\frac{|E_0|^2}{2\eta_0}(1 - |\Gamma|^2 + 2j\text{Im}(\Gamma)) \quad [\text{VA}/\text{m}^2] \quad (30)$$

Para o *half-space*  $z > 0$  (Região 2) o vetor de Poynting  $\underline{\mathcal{S}}^+$  é determinado através de

$$\underline{\mathcal{S}}^+ = \frac{1}{2}\underline{E} \times \underline{H}^* = \frac{1}{2}\underline{E}_t \times \underline{H}_t^* = \frac{1}{2}E_0 T e^{-\gamma z} \hat{i} \times \left(\frac{E_0 T}{\eta} e^{-\gamma z} \hat{j}\right)^* = \hat{k} E_0 T e^{-(\alpha + j\beta)z} \frac{E_0^* T^*}{2\eta^*} e^{-(\alpha - j\beta)z} = \hat{k} \frac{|E_0|^2 |T|^2}{2\eta^*} e^{-2\alpha z} \quad [\text{VA}/\text{m}^2] \quad (31)$$

Substituindo  $T$  dado por (18) em (31) e a seguir substituindo  $\Gamma$  dado por (17) e fazendo simplificações algébricas obtemos:

$$\begin{aligned} \underline{\mathcal{S}}^+ &= \underline{\hat{k}} \frac{|E_0|^2 \left| \frac{2\eta}{\eta + \eta_0} \right|^2}{2\eta^*} e^{-2\alpha z} = \underline{\hat{k}} \frac{|E_0|^2 \frac{4|\eta|^2}{|\eta + \eta_0|^2}}{2\eta^*} e^{-2\alpha z} = \underline{\hat{k}} \frac{|E_0|^2 \frac{4\eta\eta^*}{|\eta + \eta_0|^2}}{2\eta^*} e^{-2\alpha z} = \underline{\hat{k}} \frac{|E_0|^2}{2} \frac{4\eta}{|\eta + \eta_0|^2} e^{-2\alpha z} = \\ &= \underline{\hat{k}} \frac{|E_0|^2}{2} \frac{1}{\eta_0} (1 - |\Gamma|^2 + \Gamma - \Gamma^*) e^{-2\alpha z} = \underline{\hat{k}} \frac{|E_0|^2}{2} \frac{1}{\eta_0} (1 - |\Gamma|^2 + 2j \operatorname{Im}(\Gamma)) e^{-2\alpha z} \quad [\text{VA/m}^2] \quad (32) \end{aligned}$$

Note de (30) e (32) que  $\underline{\mathcal{S}}^- = \underline{\mathcal{S}}^+$  na fronteira em  $z = 0$ . Isto indica que quando a onda EM atravessa a fronteira o fluxo direcional de potência complexa (fluxo de potência útil e fluxo de potência reativa) é conservado na vizinhança infinitesimal da fronteira entre o espaço livre e o material bom condutor.

Vamos agora analisar o fluxo direcional de potência útil na Região 1 e na Região 2.

Para obter o fluxo direcional de potência útil  $P^-$  na Região 1 (i.e. a potência útil em [W] que atravessa um plano de área  $1 \text{ m}^2$  perpendicular à direção de propagação no eixo  $z$ ) vamos usar novamente a parte real do produto escalar entre o vetor de Poynting  $\underline{\mathcal{S}}^-$  dado por (30) e o vetor unitário  $\underline{\hat{k}}$ , de modo que o resultado seja uma potência escalar:

$$\begin{aligned} P^- &= \frac{1}{2} \operatorname{Re}(\underline{\mathcal{S}}^- \cdot \underline{\hat{k}}) = \frac{1}{2} \operatorname{Re} \left( \underline{\hat{k}} \frac{|E_0|^2}{\eta_0} (1 - |\Gamma|^2 + \Gamma - \Gamma^*) \cdot \underline{\hat{k}} \right) = \frac{1}{2} \operatorname{Re} \left( \underline{\hat{k}} \frac{|E_0|^2}{\eta_0} (1 - |\Gamma|^2 + 2j \operatorname{Im}(\Gamma)) \cdot \underline{\hat{k}} \right) = \\ &= \frac{1}{2} \frac{|E_0|^2}{\eta_0} (1 - |\Gamma|^2) \quad [\text{W/m}^2] \quad (33) \end{aligned}$$

O fluxo direcional de potência útil  $P^+$  na Região 2 vamos usar a parte real do produto escalar entre o vetor de Poynting  $\underline{\mathcal{S}}^+$  dado por (32) e o vetor unitário  $\underline{\hat{k}}$ , de modo que o resultado seja uma potência escalar:

$$\begin{aligned} P^+ &= \frac{1}{2} \operatorname{Re}(\underline{\mathcal{S}}^+ \cdot \underline{\hat{k}}) = \frac{1}{2} \operatorname{Re} \left( \underline{\hat{k}} \frac{|E_0|^2}{\eta_0} (1 - |\Gamma|^2 + \Gamma - \Gamma^*) e^{-2\alpha z} \cdot \underline{\hat{k}} \right) = \frac{1}{2} \operatorname{Re} \left( \underline{\hat{k}} \frac{|E_0|^2}{\eta_0} (1 - |\Gamma|^2 + 2j \operatorname{Im}(\Gamma)) e^{-2\alpha z} \cdot \underline{\hat{k}} \right) = \\ &= \frac{1}{2} \frac{|E_0|^2}{\eta_0} (1 - |\Gamma|^2) e^{-2\alpha z} \quad [\text{W/m}^2] \quad (34) \end{aligned}$$

## Reflexão e transmissão da onda EM plana em fronteira entre o espaço livre e um meio bom condutor

Note de (33) e (34) que  $P^- = P^+$  na fronteira em  $z = 0$ . Isto indica que quando a onda EM atravessa a fronteira o fluxo direcional de potência de potência útil é conservado na vizinhança infinitesimal da fronteira entre o espaço livre e o material bom condutor.

Note também em (33) que podemos definir uma densidade de **potência incidente** na fronteira dada por  $P_i = \frac{1}{2} \frac{|E_0|^2}{\eta_0}$  [W/m<sup>2</sup>] e uma densidade de **potência refletida** na fronteira dada por  $P_r = -\frac{1}{2} \frac{|E_0|^2 |\Gamma|^2}{\eta_0}$  [W/m<sup>2</sup>], de modo que (33) pode ser colocada na forma  $P^- = P_i + P_r$  [W/m<sup>2</sup>]. Isto indica que o fluxo direcional de potência útil na Região 1 ( $z < 0$ ) pode ser decomposto em um fluxo de potência útil devido à onda incidente e em um fluxo de potência útil devido à onda refletida. Esta mesma análise é válida para equação (26) para o caso em que a Região 2 é um material dielétrico sem perdas.

Observe ainda que a densidade de potência  $\underline{S}^+$  no condutor (Região 2) dada por (32) decai exponencialmente de acordo com o fator de atenuação  $e^{-2\alpha z}$  à medida que a onda transmitida através da fronteira se propaga ao longo do eixo  $+z$ . **Isso significa que a energia está sendo dissipada nas perdas Joule do meio bom condutor (mas imperfeito) à medida que a onda se propaga no meio na direção  $+z$ . A potência do sinal, e também a intensidade dos campos  $\underline{E}$  e  $\underline{H}$ , decaem para um valor insignificante bastando que a onda EM se propague uma distância de algumas poucas *skin depth*  $\delta$  ao longo do caminho de propagação.** Para qualquer condutor razoavelmente bom esta distância é extremamente pequena em frequências de microondas e acima.

## Reflexão e transmissão da onda EM plana em fronteira entre o espaço livre e um meio condutor perfeito

Quando a Região 2, i.e., o *half space*  $z > 0$  (ver figura no slide 2), é um PEC (*perfect electric conductor*) considera-se que a condutividade  $\sigma$  tende ao infinito nesta região, i.e.,  $\sigma \rightarrow \infty$ . Daí, de (28),  $\alpha \rightarrow \infty$  e  $\delta = \frac{1}{\alpha} \rightarrow 0$ . De (29),  $\eta \rightarrow 0$ . E, conseqüentemente, de (17)  $\Gamma = -1 = 1e^{j180^\circ}$  e de (18)  $T = 0$ .

**Os campos  $\underline{E}$  e  $\underline{H}$  decaem infinitamente rápido com a distância quando a onda EM se propaga em um PEC e são identicamente nulos no interior do PEC.**

O PEC pode ser imaginado como um “curto circuito” para o campo elétrico  $\underline{E}$  incidente na fronteira entre espaço livre (Região 1) e PEC (Região 2).

Para o *half-space*  $z < 0$  (Região 1) as ondas de  $\underline{E}$  e  $\underline{H}$  resultam da superposição das respectivas onda incidente e onda refletida dadas pelas equações (1), (2), (3) e (4), mantendo em mente que  $\Gamma = -1$  quando a Região 2 é um PEC:

$$\begin{aligned}\underline{E} &= \underline{E}_i + \underline{E}_r = (E_0 e^{-jk_0 z} \hat{\underline{z}} + E_0 \Gamma e^{jk_0 z} \hat{\underline{z}}) = E_0 (e^{-jk_0 z} - e^{jk_0 z}) \hat{\underline{z}} = -2jE_0 \left( \frac{e^{jk_0 z} - e^{-jk_0 z}}{2j} \right) \hat{\underline{z}} = \\ &= -2jE_0 \sin(k_0 z) \hat{\underline{z}} \quad [\text{V/m}]\end{aligned}\tag{35}$$

$$\begin{aligned}\underline{H} &= \underline{H}_i + \underline{H}_r = \left( \frac{E_0}{\eta_0} e^{-jk_0 z} \hat{\underline{y}} - \frac{E_0 \Gamma}{\eta_0} e^{jk_0 z} \hat{\underline{y}} \right) = \frac{E_0}{\eta_0} (e^{-jk_0 z} + e^{jk_0 z}) \hat{\underline{y}} = \frac{2E_0}{\eta_0} \left( \frac{e^{jk_0 z} + e^{-jk_0 z}}{2} \right) \hat{\underline{y}} \\ &= \frac{2E_0}{\eta_0} \cos(k_0 z) \hat{\underline{y}} \quad [\text{A/m}]\end{aligned}\tag{36}$$

Note que na fronteira em  $z = 0$ , onde ocorre o “curto circuito” do campo elétrico devido ao PEC,  $\underline{E} = 0$  [V/m] conforme equação (35). Note também que na fronteira  $\underline{H} = \frac{2E_0}{\eta_0}$  [A/m] conforme equação (36).

## Reflexão e transmissão da onda EM plana em fronteira entre o espaço livre e um meio condutor perfeito

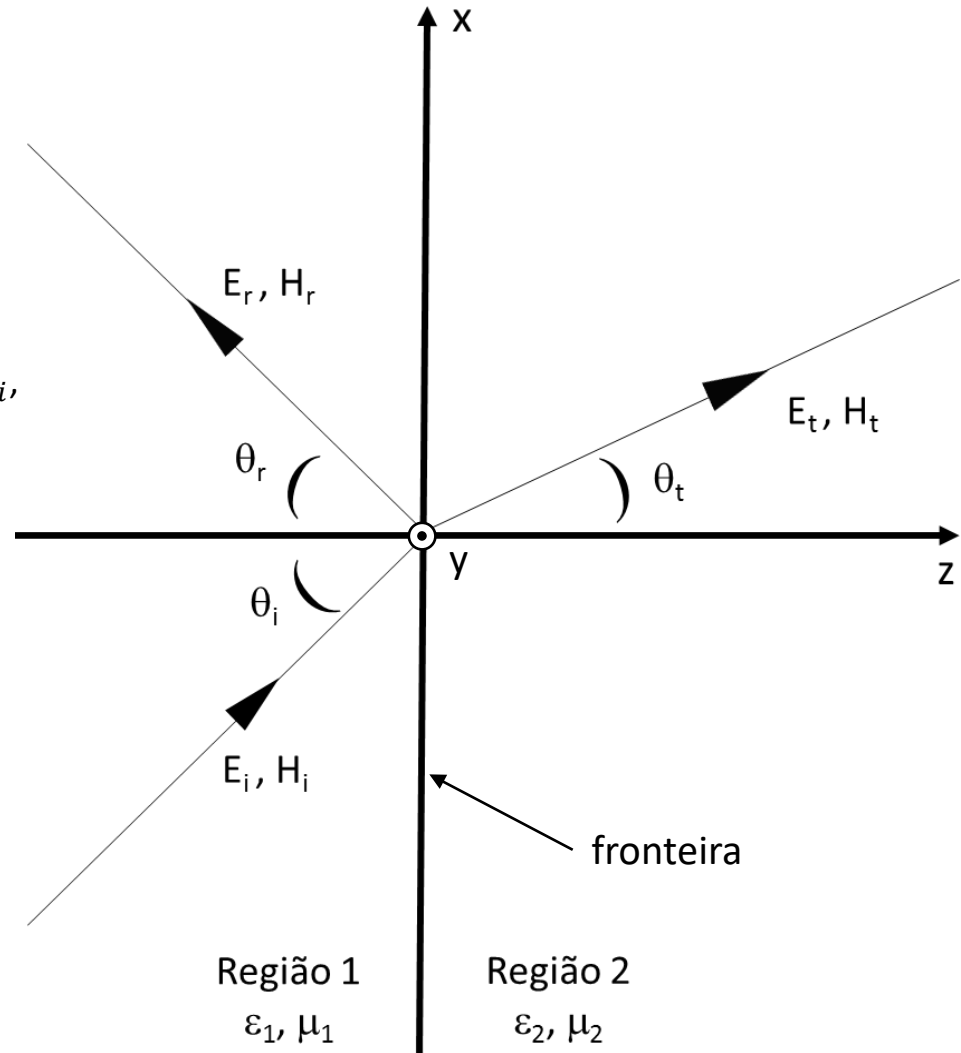
Para o *half-space*  $z < 0$  (Região 1) o vetor de Poynting  $\underline{\mathcal{S}}^-$  é determinado da equação (13) do Cap III.1 a partir do campo  $\underline{E}$  total e do campo  $\underline{H}$  total que resultam da superposição da onda incidente e da onda refletida, tanto para  $\underline{E}$  como para  $\underline{H}$ , conforme equações (35) e (36) :

$$\begin{aligned}\underline{\mathcal{S}}^- &= \frac{1}{2}\underline{E} \times \underline{H}^* = \frac{1}{2}(\underline{E}_i + \underline{E}_r) \times (\underline{H}_i + \underline{H}_r)^* = \frac{1}{2}(-2jE_0 \sin(k_0z)\hat{i}) \times \left(\frac{2E_0}{\eta_0} \cos(k_0z)\hat{j}\right)^* \\ &= -2j \frac{|E_0|^2}{\eta_0} \sin(k_0z) \cos(k_0z) \hat{k} \quad [\text{VA/m}^2]\end{aligned}\tag{37}$$

Note que a parte real de  $\underline{\mathcal{S}}^-$  dado por (37) é nula, indicando que nenhuma potência útil é transmitida para a Região 2 constituída pelo PEC.

## Reflexão e transmissão da onda EM plana sob incidência oblíqua à fronteira

Consideremos agora o caso em que uma onda EM plana uniforme, ao se propagar, incida obliquamente na fronteira entre a Região 1 e a Região 2, conforme mostra a figura abaixo. **Os meios 1 e 2 são meios dielétricos e sem perdas.**



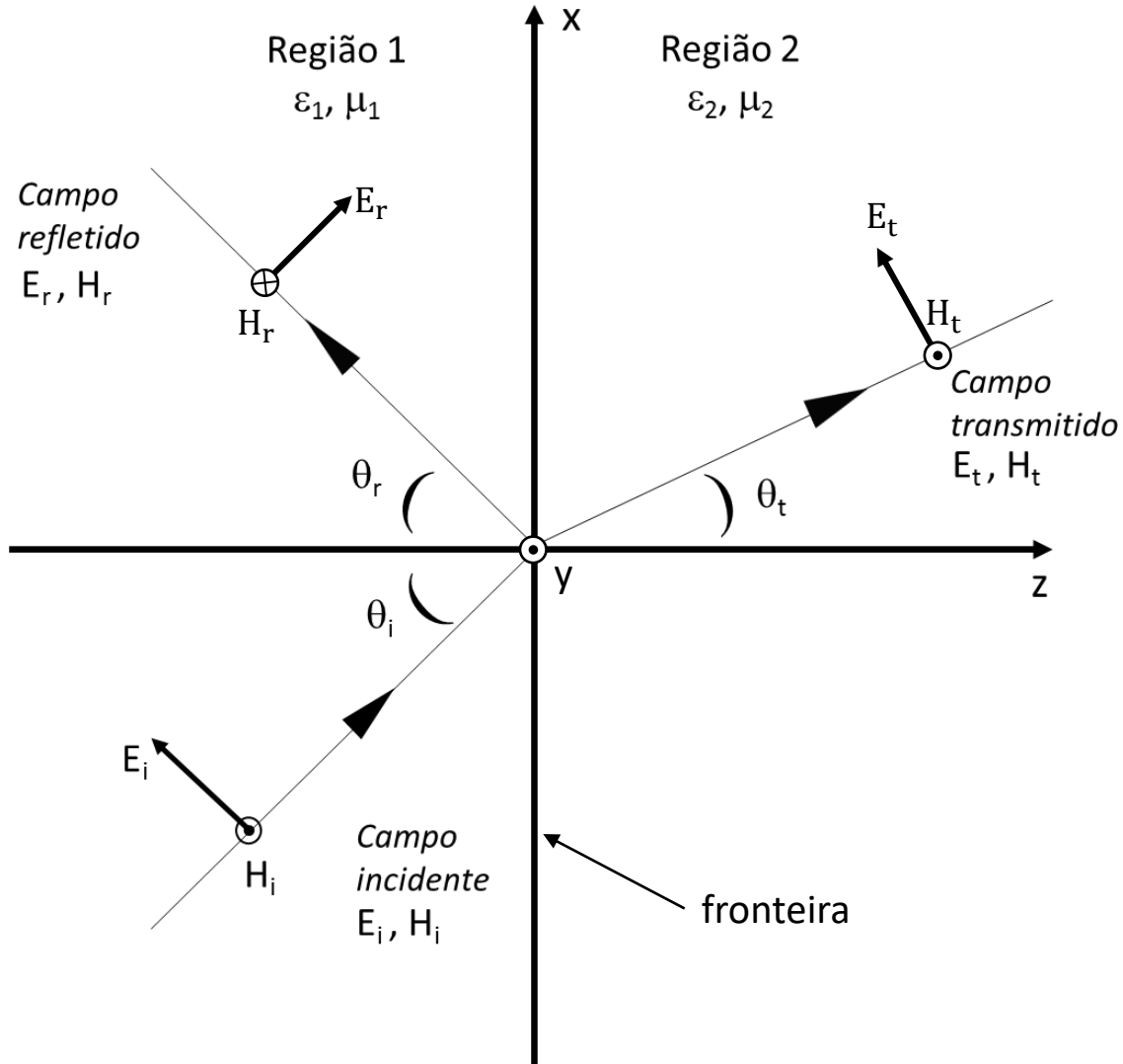
Observe na figura ao lado, que o **ângulo de incidência** é  $\theta_i$ , o **ângulo de reflexão** é  $\theta_r$ , e o **ângulo de transmissão** é  $\theta_t$ .

Há dois casos a considerar:

- **Polarização paralela**
- **Polarização perpendicular**

## Incidência oblíqua à fronteira – polarização paralela

Para o caso de **polarização paralela**, o vetor campo elétrico  $\underline{E}$  está contido no plano  $xz$  (que é o plano de incidência), enquanto que o vetor campo magnético  $\underline{H}$  está ortogonal ao campo elétrico  $\underline{E}$ , com  $\underline{H}$  incidente e transmitido saindo do plano  $xz$  e  $\underline{H}$  refletido entrando no plano  $xz$  conforme mostra a figura abaixo.



## Incidência oblíqua à fronteira – polarização paralela

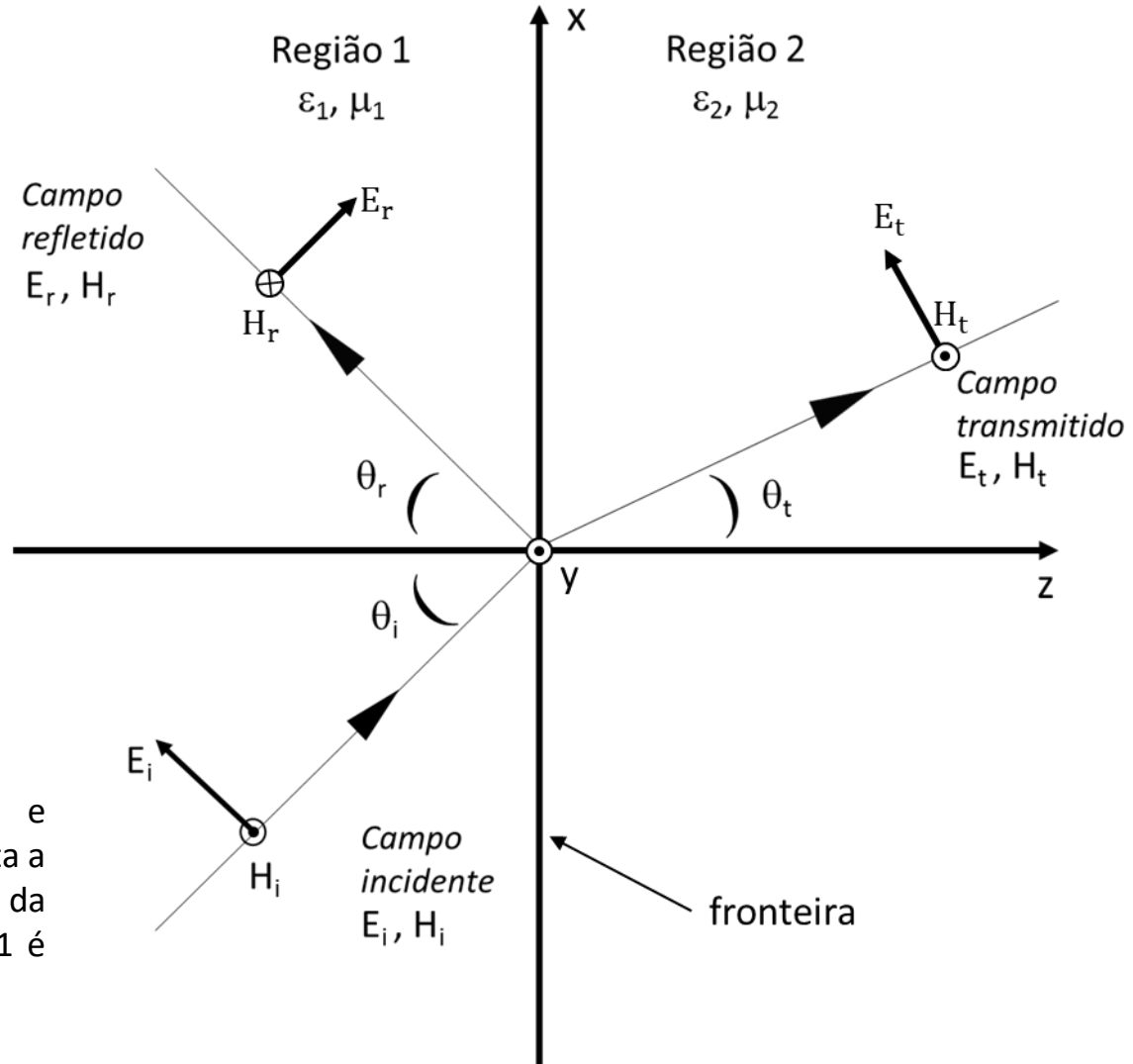
### Definição dos campos incidentes:

$$\underline{E}_i = E_0^i (\cos \theta_i \hat{i} - \sin \theta_i \hat{k}) e^{-j\beta_1(x \sin \theta_i + z \cos \theta_i)} \quad (38)$$

$$\underline{H}_i = \frac{E_0^i}{\eta_1} e^{-j\beta_1(x \sin \theta_i + z \cos \theta_i)} \hat{j} \quad (39)$$

$\beta_1 = \omega\sqrt{\mu_0\epsilon_1}$  e  $\beta_2 = \omega\sqrt{\mu_0\epsilon_2}$  são as constantes de propagação das regiões 1 e 2,  $\eta_1 = \sqrt{\frac{\mu_0}{\epsilon_1}}$  e  $\eta_2 = \sqrt{\frac{\mu_0}{\epsilon_2}}$  são as impedâncias características das regiões 1 e 2.  $\theta_i$  é o ângulo de incidência,  $\theta_r$  é o ângulo de reflexão,  $\theta_t$  é o ângulo de transmissão.

Nos próximos slides analisaremos e interpretaremos a equação (38). Uma vez feita a análise da equação (38), a interpretação da equação (39) é imediata dado que o meio 1 é um dielétrico sem perdas.



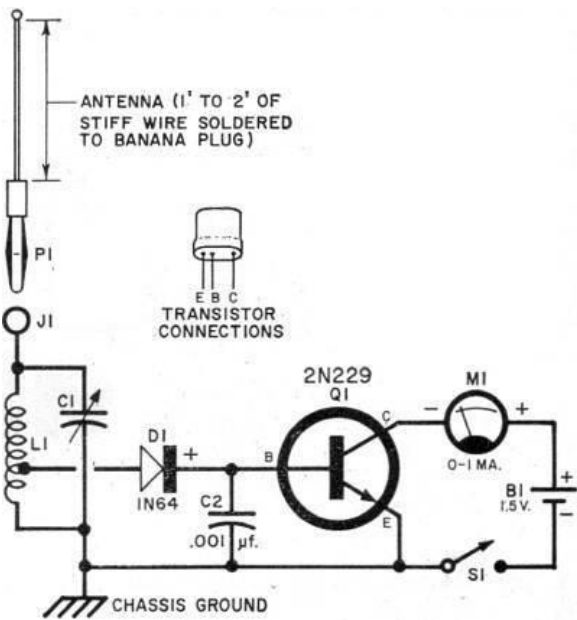
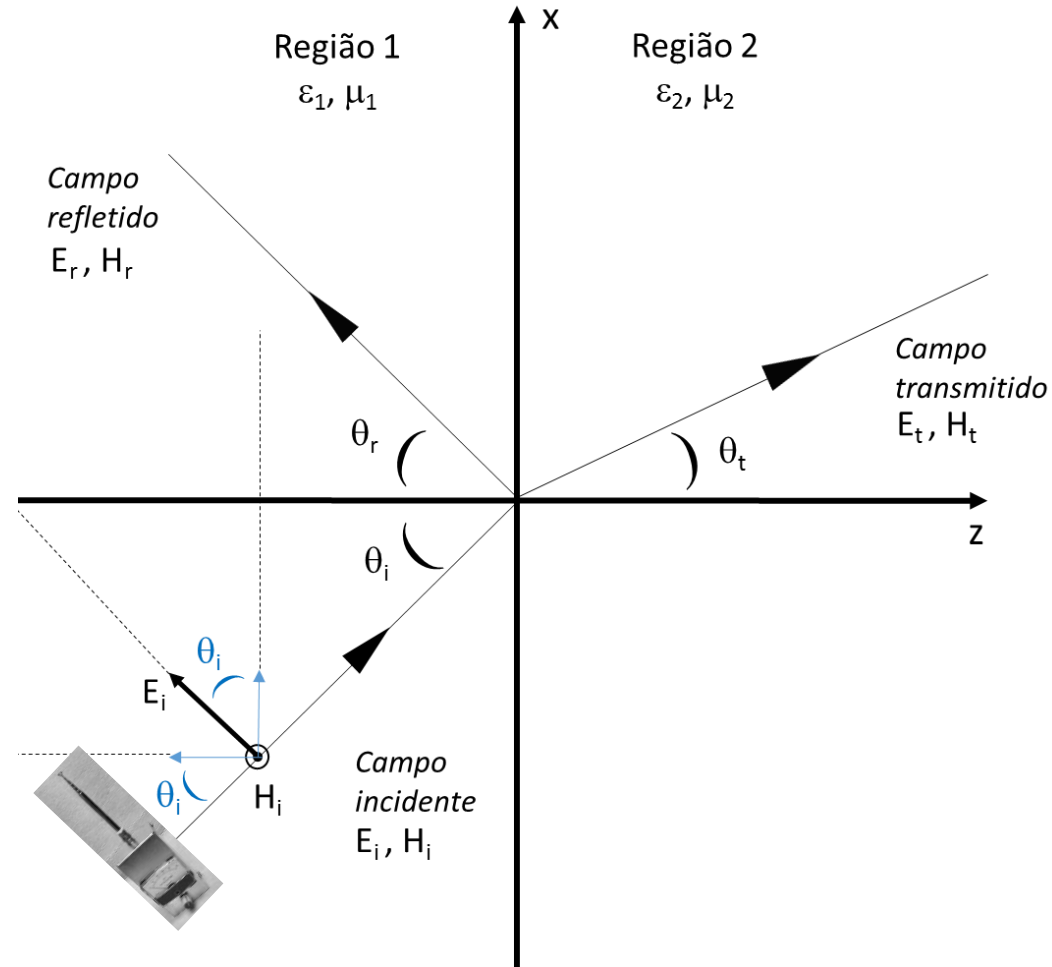
## Incidência oblíqua à fronteira – polarização paralela

$E_0^i \cos \theta_i$  é a projeção de  $\underline{E}_i$  sobre o eixo  $x$

$$\underline{E}_i = E_0^i (\cos \theta_i \hat{i} - \sin \theta_i \hat{k}) e^{-j\beta_1(x \sin \theta_i + z \cos \theta_i)} \quad (38)$$

$E_0^i \sin \theta_i$  é a projeção de  $\underline{E}_i$  sobre o eixo  $z$

$E_0^i$  é a magnitude de  $\underline{E}_i$  medida com um *field strength meter* na direção (polarização) perpendicular à direção de propagação da onda. A orientação da antena do *field strength meter* p/ medir  $E_0^i$  é mostrada na figura abaixo (a orientação deve ser paralela ao vetor  $\underline{E}_i$ ).



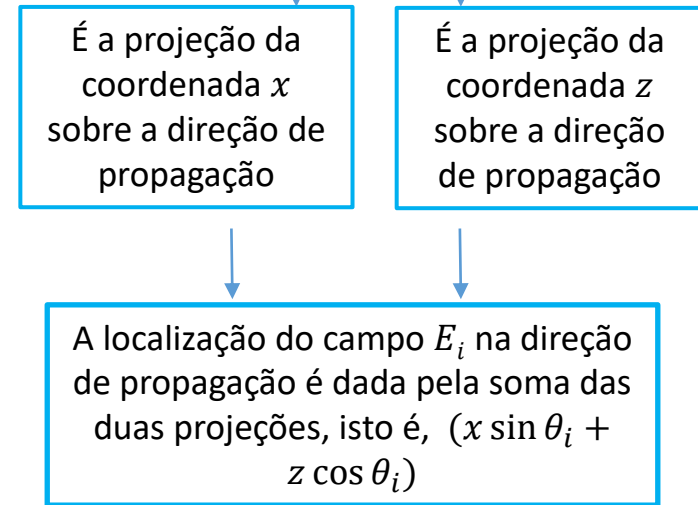
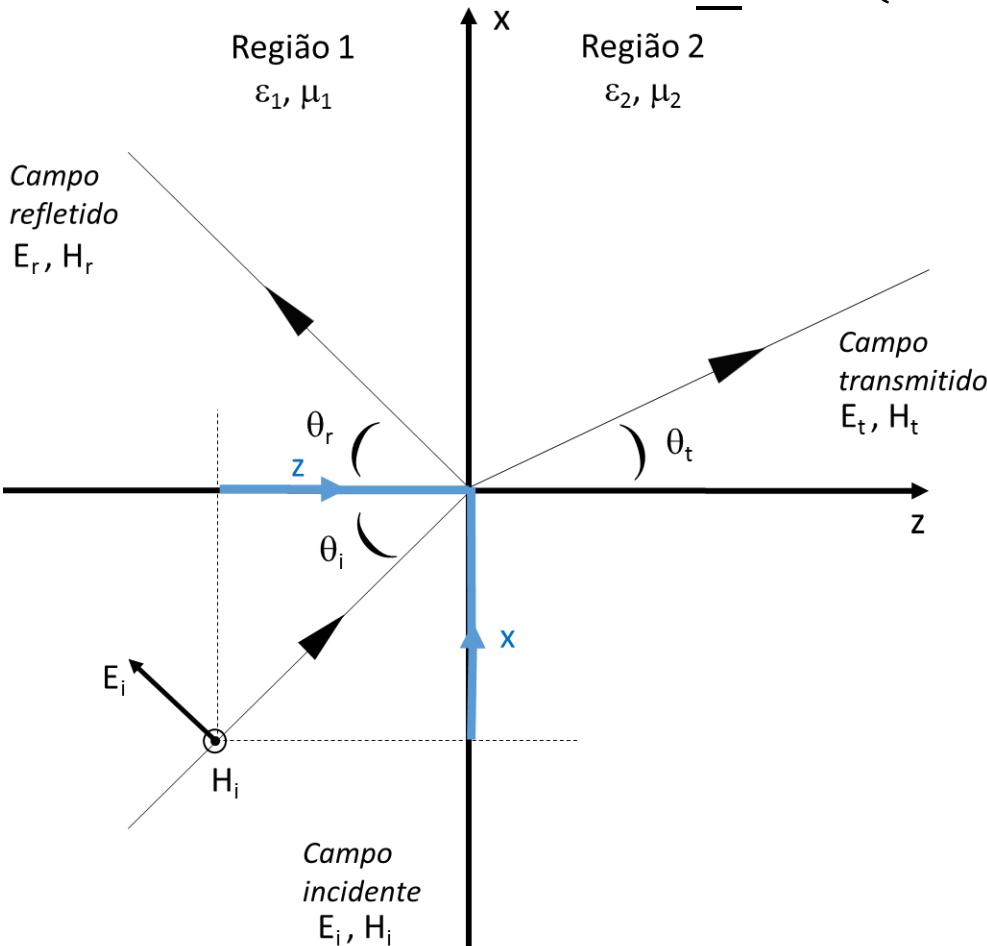
*field strength meter*



## Incidência oblíqua à fronteira – polarização paralela

Este termo expressa a localização ao longo do caminho de propagação da onda incidente em que o campo  $E_i$  está sendo considerado. A localização onde  $E_i$  está sendo considerado é dada pela coordenada  $(x, z)$  na expressão de  $E_i$ .

$$\underline{E}_i = E_0^i (\cos \theta_i \hat{t} - \sin \theta_i \hat{k}) e^{-j\beta_1 (x \sin \theta_i + z \cos \theta_i)}$$



## Incidência oblíqua à fronteira – polarização paralela

Através de análise semelhante com base nas projeções vetoriais feita nos slides anteriores para o campo elétrico incidente  $\underline{E}_i$ , obtemos as seguintes expressões analíticas para os campos refletidos e transmitidos:

Definição dos campos refletidos:

$$\underline{E}_r = E_0^r \Gamma (\cos \theta_r \underline{\hat{i}} + \sin \theta_r \underline{\hat{k}}) e^{-j\beta_1(x \sin \theta_r - z \cos \theta_r)} \quad (40)$$

$$\underline{H}_r = \frac{-E_0^r \Gamma}{\eta_1} e^{-j\beta_1(x \sin \theta_r - z \cos \theta_r)} \underline{\hat{j}} \quad (41)$$

Definição dos campos transmitidos:

$$\underline{E}_t = E_0^t T (\cos \theta_t \underline{\hat{i}} - \sin \theta_t \underline{\hat{k}}) e^{-j\beta_2(x \sin \theta_t + z \cos \theta_t)} \quad (42)$$

$$\underline{H}_t = \frac{E_0^t T}{\eta_2} e^{-j\beta_2(x \sin \theta_t + z \cos \theta_t)} \underline{\hat{j}} \quad (43)$$

onde  $\beta_1 = \omega\sqrt{\mu_0\epsilon_1}$  e  $\beta_2 = \omega\sqrt{\mu_0\epsilon_2}$  são as constantes de propagação das regiões 1 e 2,  $\eta_1 = \sqrt{\frac{\mu_0}{\epsilon_1}}$  e  $\eta_2 = \sqrt{\frac{\mu_0}{\epsilon_2}}$  são as impedâncias características das regiões 1 e 2,  $\theta_r$  é o ângulo de reflexão,  $\theta_t$  é o ângulo de transmissão.  $\Gamma$  é o coeficiente de reflexão dado por (17) e  $T$  é o coeficiente de transmissão dado por (18) com  $\eta_0 = \eta_1$  e  $\eta = \eta_2$ .

## Incidência oblíqua à fronteira – polarização paralela

Para efeito de determinar os coeficientes de reflexão  $\Gamma$  e de transmissão  $T$ , note que a condição geral de continuidade dos campos tangenciais  $E_x$  e  $H_y$  na fronteira entre os dois meios deve ser obedecida, ou seja, as seguintes condições devem ser obedecidas em  $z = 0$ :

$$\underline{E}_i + \underline{E}_r = \underline{E}_t \quad (44) \quad \longrightarrow \text{válida p/ a componente } E_x \text{ do campo elétrico (que é a componente de } \underline{E} \text{ tangencial à fronteira – ver figura no slide 16).}$$

$$\underline{H}_i + \underline{H}_r = \underline{H}_t \quad (45) \quad \longrightarrow \text{válida p/ a componente } H_y \text{ do campo magnético (que é a componente de } \underline{H} \text{ tangencial à fronteira – ver figura no slide 16)}$$

Considerando que  $E_0^i = E_0^r = E_0^t$  na fronteira em  $z = 0$ , substituindo em (44) as equações (38), (40) e (42) e substituindo em (45) as equações (39), (41) e (43) obtemos para  $z = 0$ :

$$\cos \theta_i e^{-j\beta_1 x \sin \theta_i} + \Gamma \cos \theta_r e^{-j\beta_1 x \sin \theta_r} = T \cos \theta_t e^{-j\beta_2 x \sin \theta_t} \quad (46)$$

$$\frac{1}{\eta_1} e^{-j\beta_1 x \sin \theta_i} - \frac{\Gamma}{\eta_1} e^{-j\beta_1 x \sin \theta_r} = \frac{T}{\eta_2} e^{-j\beta_2 x \sin \theta_t} \quad (47)$$

Note que os ângulos de fase (argumento das exponenciais complexas) respectivas aos três termos de (46) e de (47) são função da coordenada  $x$ :

$$\angle_i = -(\beta_1 \sin \theta_i)x \quad (48)$$

$$\angle_r = -(\beta_1 \sin \theta_r)x \quad (49)$$

$$\angle_t = -(\beta_2 \sin \theta_t)x \quad (50)$$

## Incidência oblíqua à fronteira – polarização paralela

Dado que a condição de continuidade dos campos tangenciais  $E_x$  e  $H_y$  na fronteira em  $z = 0$  entre os dois meios deve ser obedecida para todo  $x$ , então para que esta continuidade seja obtida a razão de variação da fase em relação à variação de  $x$  deve ser a mesma nos três termos de (46) como também nos três termos de (47). Ou seja, as derivadas  $\frac{d}{dx}$  de (48), (49) e (50) devem ser iguais entre si:

$$\beta_1 \sin \theta_i = \beta_1 \sin \theta_r = \beta_2 \sin \theta_t \quad (51)$$

Para que a igualdade de (51) seja obedecida é necessário que o ângulo de incidência  $\theta_i$  seja igual ao ângulo de reflexão  $\theta_r$  e que  $\beta_1 \sin \theta_i = \beta_2 \sin \theta_t$ . Esta condição nada mais é do que a **Lei de Snell** da física (ver [https://en.wikipedia.org/wiki/Snell%27s\\_law](https://en.wikipedia.org/wiki/Snell%27s_law)). Substituindo estas condições nas equações (46) e (47) e resolvendo para os coeficientes de reflexão  $\Gamma$  e de transmissão  $T$  obtemos:

$$\Gamma = \frac{\eta_2 \cos \theta_t - \eta_1 \cos \theta_i}{\eta_2 \cos \theta_t + \eta_1 \cos \theta_i} \quad (52)$$

$$T = \frac{2 \eta_2 \cos \theta_i}{\eta_2 \cos \theta_t + \eta_1 \cos \theta_i} \quad (53)$$

Note que para incidência normal, situação em que  $\theta_i = \theta_r = \theta_t = 0$ , as equações (52) e (53) simplificam para

$$\Gamma = \frac{\eta_2 - \eta_1}{\eta_2 + \eta_1} \quad (54)$$

$$T = \frac{2 \eta_2}{\eta_2 + \eta_1} \quad (55)$$

que são as equações (17) e (18) do slide 6 do Cap IV.1.

## Incidência oblíqua à fronteira – polarização paralela

Note que o numerador de (52) é nulo para  $\eta_2 \cos \theta_t = \eta_1 \cos \theta_i$  resultando  $\Gamma = 0$ , situação em que  $T = 1 + \Gamma = 1$ , e, portanto **a onda é transmitida totalmente ao meio 2 sem qualquer perda por reflexão na fronteira.**

O ângulo de incidência  $\theta_i$  que anula o numerador de (52) resultando em um coeficiente de reflexão  $\Gamma = 0$ , é denominado **Ângulo de Brewster**  $\theta_b$ . O ângulo de Brewster  $\theta_b$  é determinado, portanto, da solução de  $\eta_2 \cos \theta_t = \eta_1 \cos \theta_b$  para  $\theta_b$  e que resulta em:

$$\cos \theta_b = \frac{\eta_2}{\eta_1} \cos \theta_t = \frac{\sqrt{\mu_0/\varepsilon_2}}{\sqrt{\mu_0/\varepsilon_1}} \cos \theta_t = \sqrt{\frac{\varepsilon_1}{\varepsilon_2}} \cos \theta_t \quad (56)$$

Usando a relação trigonométrica  $\cos \theta_t = \sqrt{1 - (\sin \theta_t)^2}$  e usando (51) na referida relação trigonométrica obtemos:

$$\cos \theta_t = \sqrt{1 - (\sin \theta_t)^2} = \sqrt{1 - \frac{\beta_1^2}{\beta_2^2} (\sin \theta_i)^2} = \sqrt{1 - \frac{(\omega\sqrt{\mu_0\varepsilon_1})^2}{(\omega\sqrt{\mu_0\varepsilon_2})^2} (\sin \theta_i)^2} = \sqrt{1 - \frac{\varepsilon_1}{\varepsilon_2} (\sin \theta_i)^2} \quad (57)$$

Substituindo (57) em (56) com  $\theta_i = \theta_b$  obtemos:

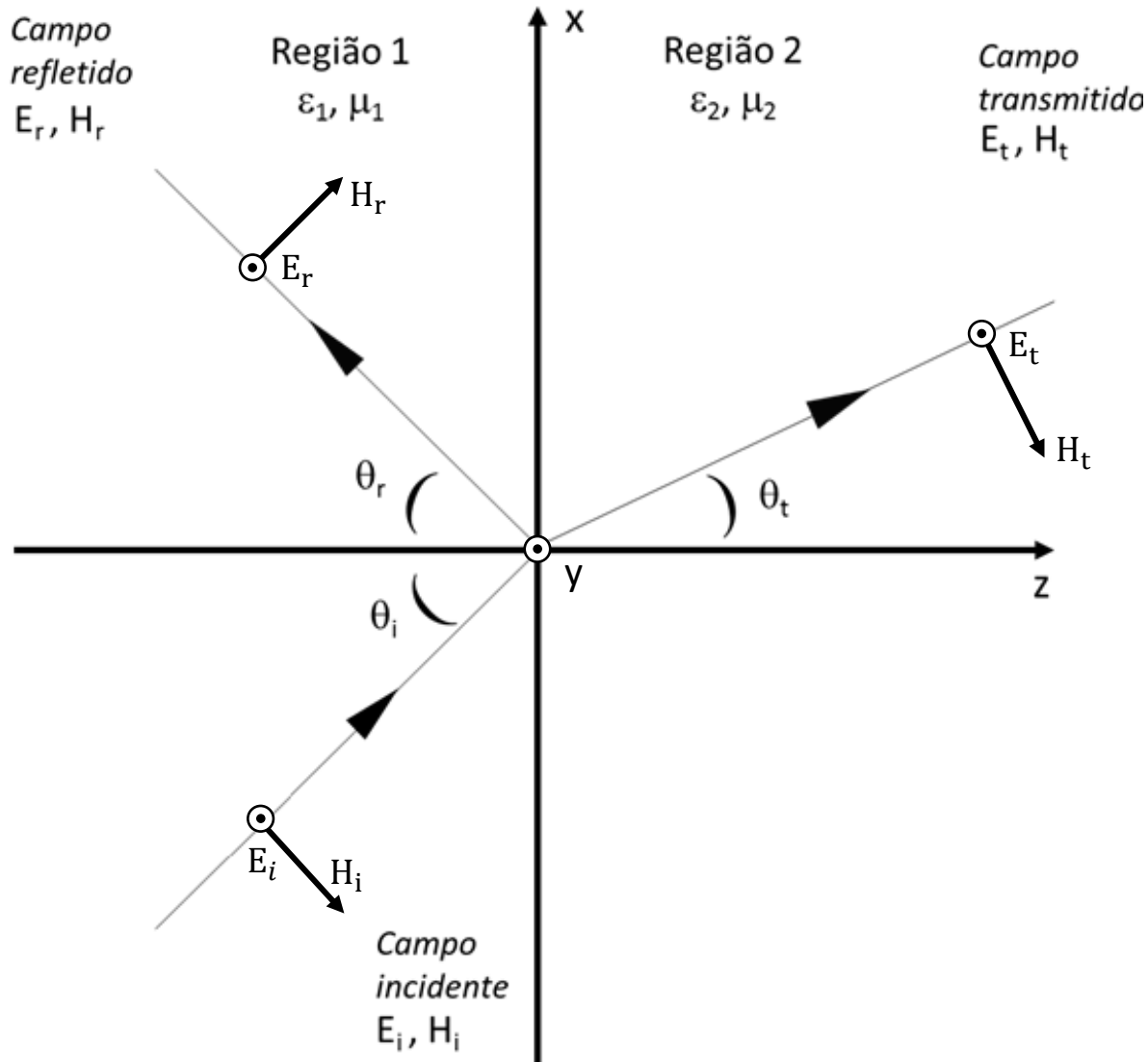
$$\cos \theta_b = \sqrt{\frac{\varepsilon_1}{\varepsilon_2}} \cos \theta_t = \sqrt{\frac{\varepsilon_1}{\varepsilon_2}} \sqrt{1 - \frac{\varepsilon_1}{\varepsilon_2} (\sin \theta_b)^2} \quad (58)$$

Simplificando (58) e resolvendo para  $\theta_b$  resulta em:

$$\sin \theta_b = \frac{1}{\sqrt{1 + \frac{\varepsilon_1}{\varepsilon_2}}} \longrightarrow \theta_b = \tan^{-1} \sqrt{\frac{\varepsilon_2}{\varepsilon_1}} \quad (59)$$

## Incidência oblíqua à fronteira – polarização perpendicular

Para o caso de **polarização perpendicular**, o vetor campo magnético  $\underline{H}$  está contido no plano  $xz$  (que é o plano de incidência), enquanto que o vetor campo elétrico  $\underline{E}$  está ortogonal ao campo magnético  $\underline{H}$ , com  $\underline{E}$  incidente, refletido e transmitido saindo do plano  $xz$  conforme mostra a figura abaixo.



## Incidência oblíqua à fronteira – polarização perpendicular

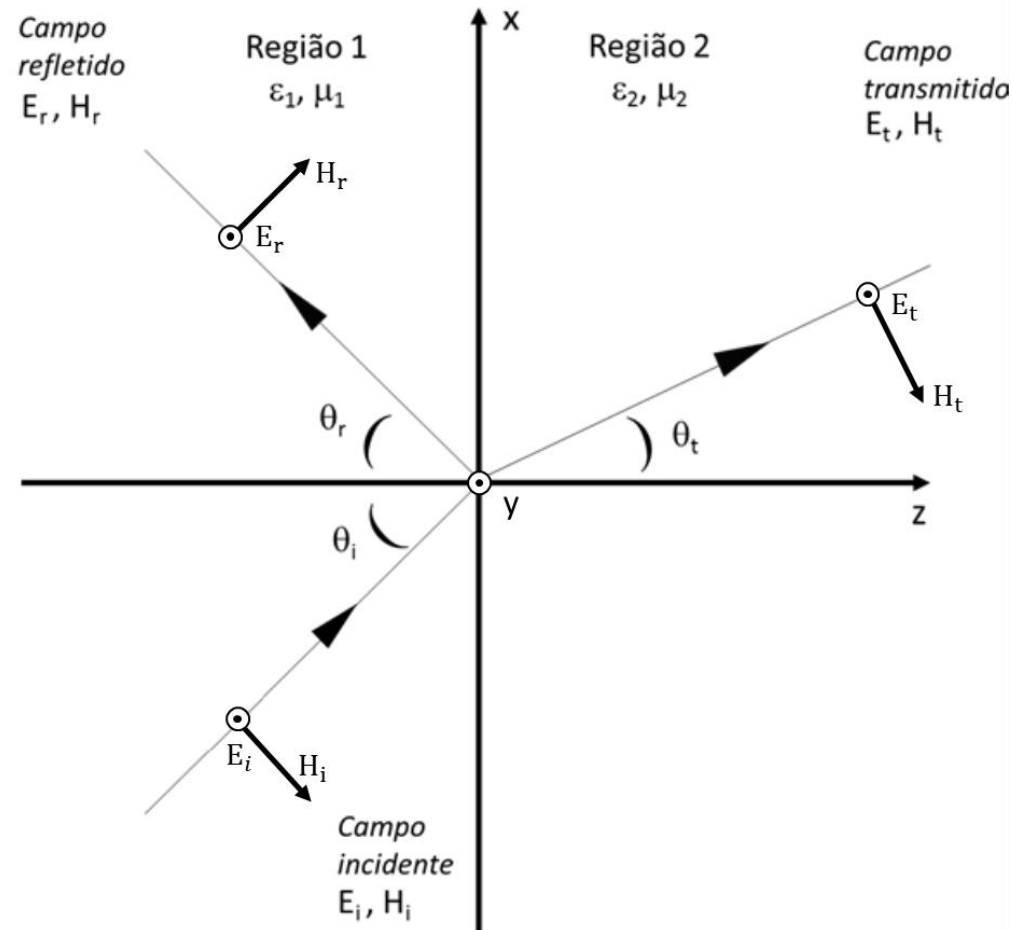
Através de análise semelhante à análise das projeções vetoriais feita para polarização paralela, obtemos as seguintes expressões analíticas para os campos incidentes com polarização perpendicular:

Definição dos campos incidentes:

$$\underline{E}_i = E_0^i e^{-j\beta_1(x \sin \theta_i + z \cos \theta_i)} \underline{\hat{j}} \quad (60)$$

$$\underline{H}_i = \frac{E_0^i}{\eta_1} (-\cos \theta_i \underline{\hat{i}} + \sin \theta_i \underline{\hat{k}}) e^{-j\beta_1(x \sin \theta_i + z \cos \theta_i)} \quad (61)$$

$\beta_1 = \omega\sqrt{\mu_0\epsilon_1}$  e  $\beta_2 = \omega\sqrt{\mu_0\epsilon_2}$  são as constantes de propagação das regiões 1 e 2,  $\eta_1 = \sqrt{\frac{\mu_0}{\epsilon_1}}$  e  $\eta_2 = \sqrt{\frac{\mu_0}{\epsilon_2}}$  são as impedâncias características das regiões 1 e 2.  $\theta_i$  é o ângulo de incidência,  $\theta_r$  é o ângulo de reflexão,  $\theta_t$  é o ângulo de transmissão.



## Incidência oblíqua à fronteira – polarização perpendicular

De mesma forma, através de análise semelhante à análise das projeções vetoriais feita para polarização paralela, obtemos as seguintes expressões analíticas para os campos refletidos e transmitidos com polarização perpendicular:

### Definição dos campos refletidos:

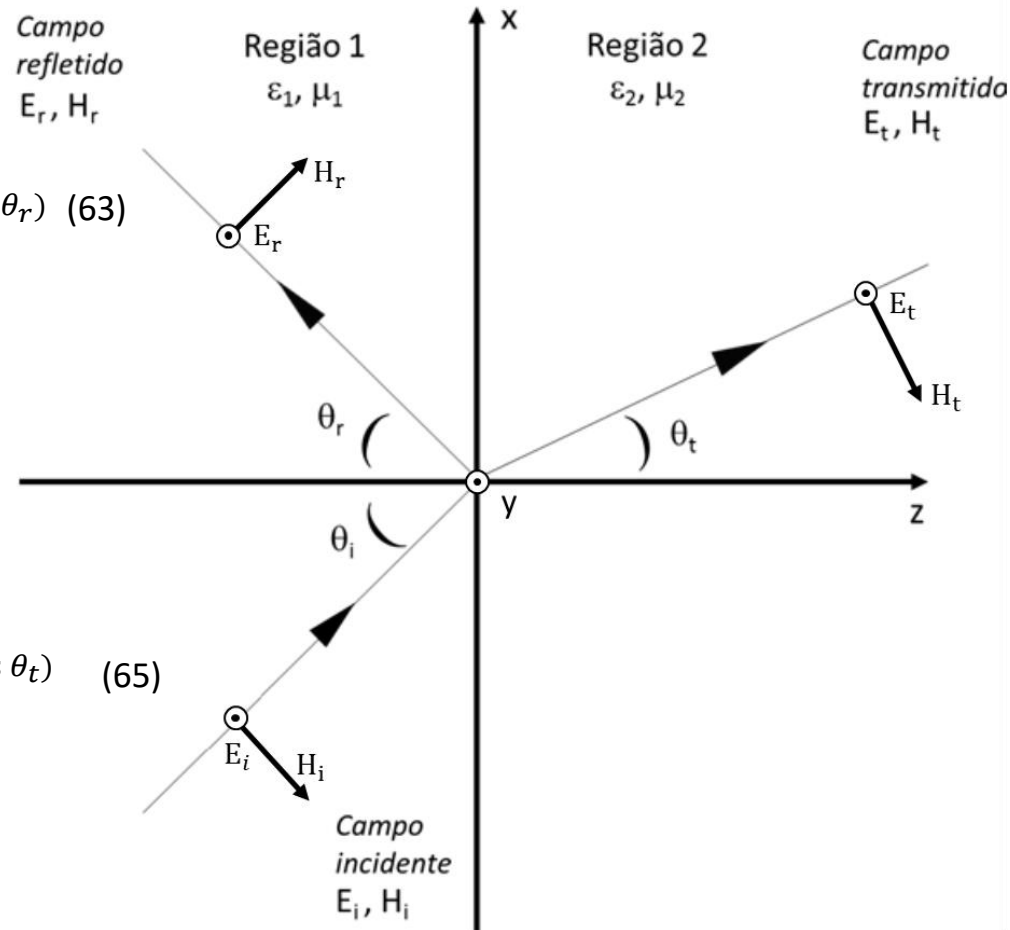
$$\underline{E}_r = E_0^r \Gamma e^{-j\beta_1(x \sin \theta_r - z \cos \theta_r)} \underline{\hat{j}} \quad (62)$$

$$\underline{H}_r = \frac{E_0^r \Gamma}{\eta_1} (\cos \theta_r \underline{\hat{i}} + \sin \theta_r \underline{\hat{k}}) e^{-j\beta_1(x \sin \theta_r - z \cos \theta_r)} \quad (63)$$

### Definição dos campos transmitidos:

$$\underline{E}_t = E_0^t T e^{-j\beta_2(x \sin \theta_t + z \cos \theta_t)} \underline{\hat{j}} \quad (64)$$

$$\underline{H}_t = \frac{E_0^t T}{\eta_2} (-\cos \theta_t \underline{\hat{i}} + \sin \theta_t \underline{\hat{k}}) e^{-j\beta_2(x \sin \theta_t + z \cos \theta_t)} \quad (65)$$



onde  $\beta_1 = \omega\sqrt{\mu_0\epsilon_1}$  e  $\beta_2 = \omega\sqrt{\mu_0\epsilon_2}$  são as constantes de propagação das regiões 1 e 2,  $\eta_1 = \sqrt{\frac{\mu_0}{\epsilon_1}}$  e  $\eta_2 = \sqrt{\frac{\mu_0}{\epsilon_2}}$  são as impedâncias características das regiões 1 e 2,  $\theta_r$  é o ângulo de reflexão,  $\theta_t$  é o ângulo de transmissão,  $\Gamma$  é o coeficiente de reflexão dado por (17) e  $T$  é o coeficiente de transmissão dado por (18) com  $\eta_0 = \eta_1$  e  $\eta = \eta_2$ .

## Incidência oblíqua à fronteira – polarização perpendicular

De maneira similar à que procedemos para polarização paralela, para efeito de determinar os coeficientes de reflexão  $\Gamma$  e de transmissão  $T$  com polarização perpendicular, note que a condição geral de continuidade dos campos tangenciais  $E_y$  e  $H_x$  na fronteira entre os dois meios deve ser obedecida, ou seja, as seguintes condições devem ser obedecidas em  $z = 0$ :

$$\underline{E}_i + \underline{E}_r = \underline{E}_t \quad (66) \quad \longrightarrow \text{válida p/ a componente } E_y \text{ do campo elétrico (que é a componente de } \underline{E} \text{ tangencial à fronteira – ver figura no slide 24).}$$

$$\underline{H}_i + \underline{H}_r = \underline{H}_t \quad (67) \quad \longrightarrow \text{válida p/ a componente } H_x \text{ do campo magnético (que é a componente de } \underline{H} \text{ tangencial à fronteira – ver figura no slide 24).}$$

Considerando que  $E_0^i = E_0^r = E_0^t$  na fronteira em  $z = 0$ , substituindo em (66) as equações (60), (62) e (64) e substituindo em (67) as equações (61), (63) e (65) obtemos para  $z = 0$ :

$$e^{-j\beta_1 x \sin \theta_i} + \Gamma e^{-j\beta_1 x \sin \theta_r} = T e^{-j\beta_2 x \sin \theta_t} \quad (68)$$

$$\frac{-1}{\eta_1} \cos \theta_i e^{-j\beta_1 x \sin \theta_i} + \frac{\Gamma}{\eta_1} \cos \theta_r e^{-j\beta_1 x \sin \theta_r} = \frac{-T}{\eta_2} \cos \theta_t e^{-j\beta_2 x \sin \theta_t} \quad (69)$$

Note que os ângulos de fase (argumento das exponenciais complexas) respectivas aos três termos de (68) e de (69) são função da coordenada  $x$ :

$$\angle_i = -(\beta_1 \sin \theta_i)x \quad (70)$$

$$\angle_r = -(\beta_1 \sin \theta_r)x \quad (71)$$

$$\angle_t = -(\beta_2 \sin \theta_t)x \quad (72)$$

## Incidência oblíqua à fronteira – polarização perpendicular

Dado que a condição de continuidade dos campos tangenciais  $E_y$  e  $H_x$  na fronteira em  $z = 0$  entre os dois meios deve ser obedecida para todo  $x$ , então para que esta continuidade seja obtida a razão de variação da fase em relação à variação de  $x$  deve ser a mesma nos três termos de (68) como também nos três termos de (69). Ou seja, as derivadas  $\frac{d}{dx}$  de (70), (71) e (72) devem ser iguais entre si:

$$\beta_1 \sin \theta_i = \beta_1 \sin \theta_r = \beta_2 \sin \theta_t \quad (73)$$

Para que a igualdade de (73) seja obedecida é necessário que o ângulo de incidência  $\theta_i$  seja igual ao ângulo de reflexão  $\theta_r$  e que  $\beta_1 \sin \theta_i = \beta_2 \sin \theta_t$ . Esta condição é novamente a Lei de Snell já referida no slide 22. Substituindo estas condições nas equações (68) e (69) e resolvendo para os coeficientes de reflexão  $\Gamma$  e de transmissão  $T$  obtemos:

$$\Gamma = \frac{\eta_2 \cos \theta_i - \eta_1 \cos \theta_t}{\eta_2 \cos \theta_i + \eta_1 \cos \theta_t} \quad (74)$$

$$T = \frac{2 \eta_2 \cos \theta_i}{\eta_2 \cos \theta_i + \eta_1 \cos \theta_t} \quad (75)$$

Note que para incidência normal, situação em que  $\theta_i = \theta_r = \theta_t = 0$ , as equações (74) e (75) simplificam para

$$\Gamma = \frac{\eta_2 - \eta_1}{\eta_2 + \eta_1} \quad T = \frac{2 \eta_2}{\eta_2 + \eta_1}$$

que são as equações (17) e (18) do slide 6 do Cap IV.1.

Para a polarização perpendicular não existe um Ângulo de Brewster.

## Incidência oblíqua à fronteira – reflexão total

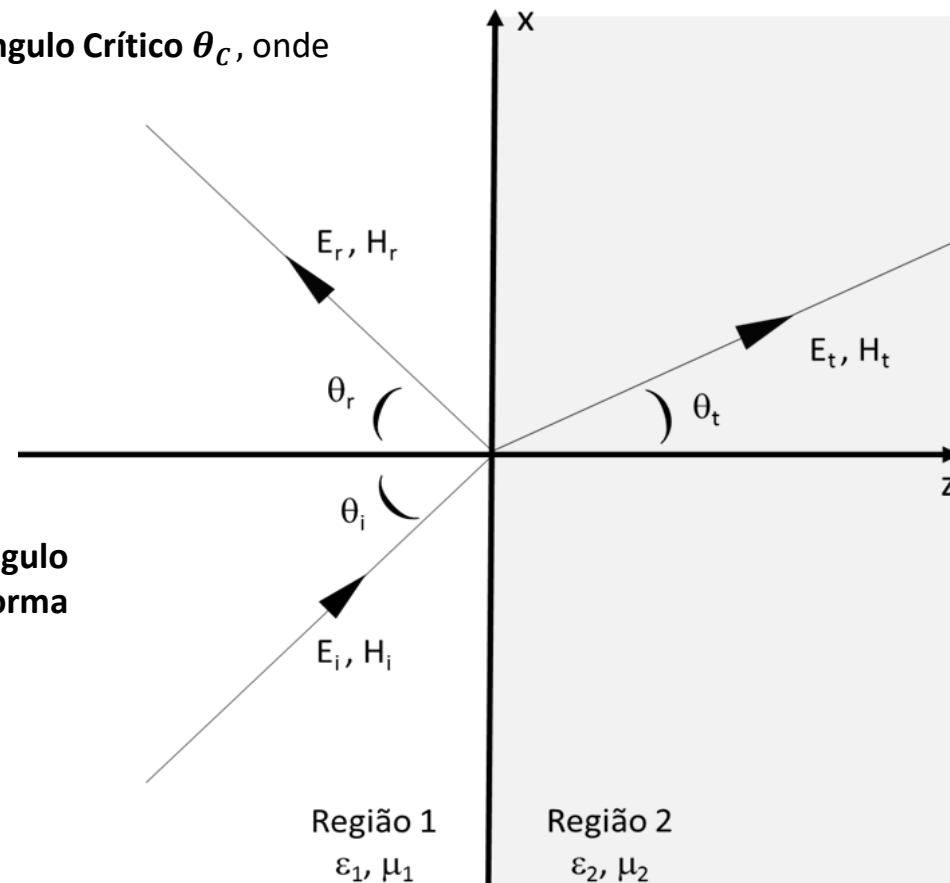
A Lei de Snell discutida no slide 22 pode ser reescrita como  $\sin \theta_t = (\beta_1/\beta_2) \sin \theta_i = \sqrt{\varepsilon_1/\varepsilon_2} \sin \theta_i$ .

Consideremos o caso (tanto p/ polarização paralela como p/ polarização perpendicular), em que a permissividade do meio 1 é maior que a permissividade do meio 2, i.e.,  $\varepsilon_1 > \varepsilon_2$ . Este é o caso, por exemplo, de uma onda luminosa se propagando em um meio 1 constituído de vidro ( $\varepsilon_1 = 50$  [pF/m] - ver <https://pt.wikipedia.org/wiki/Permissividade>) sendo o meio 2 o espaço livre ( $\varepsilon_2 = 8.85$  [pF/m]).

Dado que  $\sqrt{\varepsilon_1/\varepsilon_2} > 1$ , à medida que  $\theta_i$  aumenta, o ângulo de refração  $\theta_t$  irá aumentar, mas a uma taxa maior do que  $\theta_i$  aumenta. Quando  $\theta_i$  aumenta ao ponto de resultar  $\theta_t > 90^\circ$  a onda incidente será totalmente refletida, não havendo onda transmitida no meio 2.

O ângulo de incidência  $\theta_i$  para o qual  $\theta_t = 90^\circ$  é chamado **Ângulo Crítico  $\theta_C$** , onde

$$\sin \theta_C = \sqrt{\frac{\varepsilon_2}{\varepsilon_1}} \quad (76)$$



Para ângulos de incidência  $\theta_i$  iguais ou maiores que o **Ângulo Crítico  $\theta_C$** , a onda incidente é totalmente refletida, de tal forma que a onda transmitida não se propagará para a região 2.

**Exemplo 1:** Uma onda EM plana se propaga no ar (Região 1 na figura abaixo) com fasor do vetor campo elétrico  $\underline{E}$  incidente dado por:

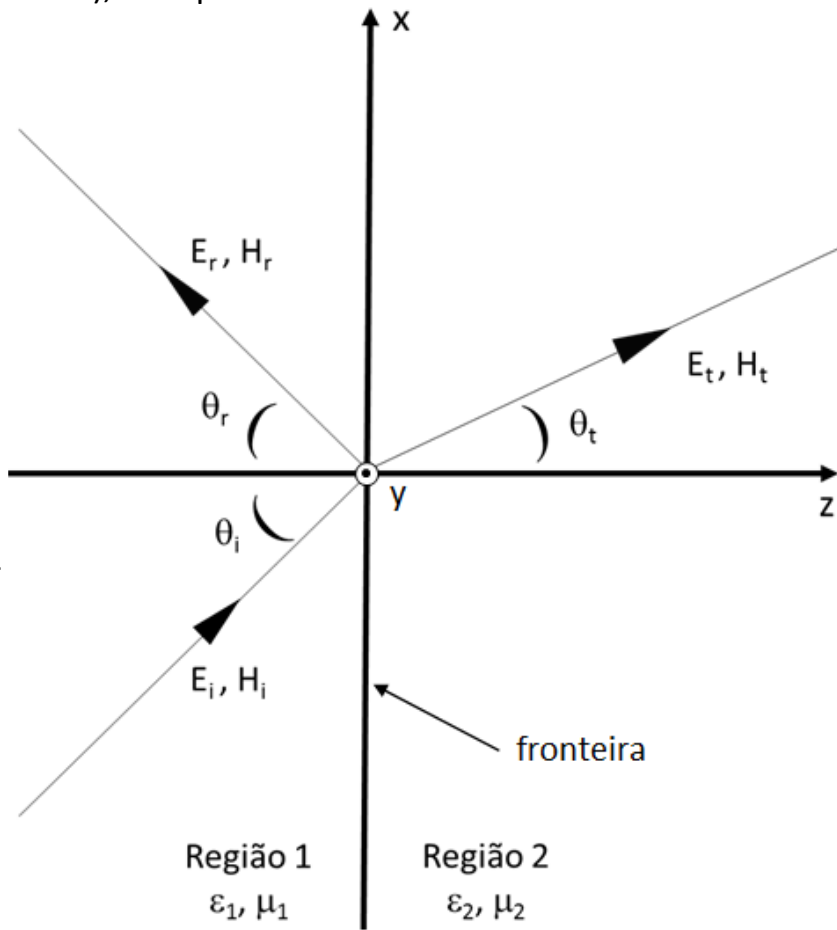
$$\underline{E}_i(x, z) = \left( E_x^i \underline{\hat{i}} + E_y^i \underline{\hat{j}} + E_z^i \underline{\hat{k}} \right) e^{-j(\beta_x x + \beta_z z)}$$

onde  $E_x^i = 9.0$  [V/m],  $E_y^i = -4.0$  [V/m],  $E_z^i = -6.0$  [V/m],  $\beta_x = 2.0$  [rad/m] e  $\beta_y = 3.0$  [rad/m].

A onda que se propaga na Região 1 incide na fronteira e passa a se propagar na Região 2 com direção de propagação distinta da direção de propagação na Região 1, conforme mostra a figura ao lado. A Região 2 é um meio dielétrico (e não-magnético), sem perdas e com permissividade relativa  $\epsilon_r = 2.25$ .

**Pede-se:**

- (a) Determine o ângulo de incidência  $\theta_i$  e o ângulo de transmissão  $\theta_t$  (ver figura ao lado).
- (b) Determine a frequência  $f$  [MHz] da onda EM.
- (c) Determine no ponto P1 (0.0, 0.0, 0.0) [m] localizado na fronteira e no ponto P2(1.0, 0.0, -1.0) [m] localizado na Região 1 os respectivos fasores do campo elétrico  $\underline{E}_r$  refletido .
- (d) Determine no ponto P1 (0.0, 0.0, 0.0 ) [m] localizado na fronteira e no ponto P3 (1.0, 0.0, 1.0) [m] localizado na Região 2 os respectivos fasores do campo elétrico  $\underline{E}_t$  transmitido.
- (e) Determine a densidade de potência média (parte real do vetor de Poynting) na Região 2.
- (f) Mostre numericamente que as componentes do campo elétrico tangenciais à fronteira (componentes  $x$  e  $y$ ) se anulam entre si na fronteira em  $x=z=0$ , demonstrando assim a continuidade dos campos ao atravessar a fronteira (i.e., mostre numericamente que na fronteira as componentes tangenciais  $x$  e  $y$  obedecem a relação  $\underline{E}_i + \underline{E}_r = \underline{E}_t$  ou, equivalentemente,  $\underline{E}_i + \underline{E}_r - \underline{E}_t = \underline{0}$ ).



## Solução:

Para a solução deste exemplo vamos usar o *script* Mathcad Exemplo1.xmcd disponível em [https://www.fccdecastro.com.br/ZIP/OLT\\_C4\\_E1S30.zip](https://www.fccdecastro.com.br/ZIP/OLT_C4_E1S30.zip) .

Sejam os vetores unitários dos eixos x,y e z do sistema cartesiano  $\mathbb{R}^3$  dados por:

$$\mathbf{i}_- := \begin{pmatrix} 1 \\ 0 \\ 0 \end{pmatrix} \quad \mathbf{j}_- := \begin{pmatrix} 0 \\ 1 \\ 0 \end{pmatrix} \quad \mathbf{k}_- := \begin{pmatrix} 0 \\ 0 \\ 1 \end{pmatrix}$$

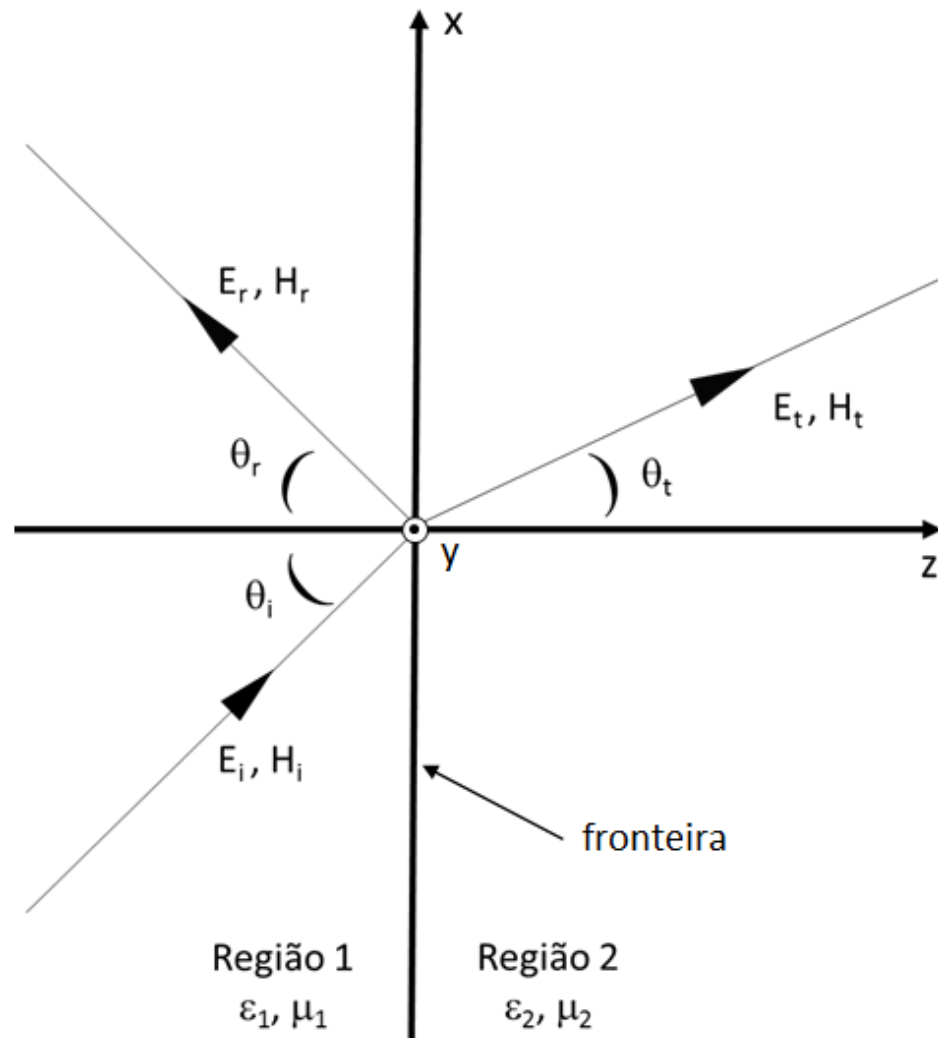
Uma onda plana se propaga no ar (Região 1 da figura abaixo) com fasor do campo elétrico definido por:

$$E_i(x, z) = (E_{ix} \cdot \mathbf{i}_- + E_{iy} \cdot \mathbf{j}_- + E_{iz} \cdot \mathbf{k}_-) \cdot e^{-j \cdot (\beta_x \cdot x + \beta_z \cdot z)} \quad (A)$$

onde

$$E_{ix} := 9.0 \frac{\text{V}}{\text{m}} \quad E_{iy} := -4.0 \frac{\text{V}}{\text{m}} \quad E_{iz} := -6.0 \frac{\text{V}}{\text{m}} \quad \beta_x := 2.0 \frac{\text{rad}}{\text{m}} \quad \beta_z := 3.0 \frac{\text{rad}}{\text{m}}$$

A onda que se propaga na Região 1 incide na fronteira e passa a se propagar na Região 2 com direção de propagação distinta da direção de propagação na Região 1, conforme mostra a figura abaixo. A Região 2 é um meio dielétrico (e não-magnético), sem perdas e com permissividade relativa  $\epsilon_r := 2.25$ .



**(a)** Comparando o argumento da exponencial complexa na expressão de  $E_i(x, z)$  na equação (A) acima com o argumento da exponencial complexa na equação (38) do slide 17 do Cap IV.2 para o campo incidente  $E_i$  com polarização paralela, ou, alternativamente, comparando o argumento da exponencial complexa na expressão de  $E_i(x, z)$  na equação (A) acima com o argumento da exponencial complexa na equação (60) do slide 25 do Cap IV.2 para o campo incidente  $E_i$  com polarização perpendicular, obtemos::

$$\beta_x = \beta_1 \cdot \sin(\theta_i) \quad (B)$$

$$\beta_z = \beta_1 \cdot \cos(\theta_i) \quad (C)$$

Daí, de (B) e (C) obtemos:

$$\theta_i := \operatorname{atan}\left(\frac{\beta_x}{\beta_z}\right) = 33.69^\circ \quad (D)$$

Note que, pela Lei de Snell, o ângulo de incidência  $\theta_i$  é igual ao ângulo de reflexão  $\theta_r$ .

A constante de propagação  $\beta_1$  na Região 1 é a soma vetorial de suas componentes  $\beta_x$  e  $\beta_z$  nas direções x e z:

$$\beta_1 := \sqrt{(\beta_x)^2 + (\beta_z)^2} = 3.606 \frac{\text{rad}}{\text{m}}$$

Do  $\epsilon_r = 2.25$  dado no enunciado para a Região 2 e das definições para  $\beta_1$  e  $\beta_2$  no slide 17 do Cap IV.2, obtemos:

$$\beta_1 = \omega \cdot \sqrt{\mu_0 \cdot \epsilon_0}$$

$$\beta_2 = \omega \cdot \sqrt{\mu_0 \cdot \epsilon_0 \cdot \epsilon_r}$$

e, portanto,

$$\beta_2 := \beta_1 \cdot \sqrt{\epsilon_r} = 5.408 \frac{\text{rad}}{\text{m}}$$

Da Lei de Snell no slide 22 do Cap IV.2 temos:

$$\beta_1 \cdot \sin(\theta_i) = \beta_2 \cdot \sin(\theta_t)$$

Resolvendo p/  $\theta_t$ :

$$\theta_t = \text{asin}\left(\frac{\beta_1 \cdot \sin(\theta_i)}{\beta_2}\right) \quad (\text{E})$$

(D)→(E):

$$\theta_t := \text{asin}\left(\frac{\sin(\theta_i)}{\sqrt{\epsilon_r}}\right) = 21.703^\circ$$

Nota: Observe que a lei de Snell vale tanto p/ o caso de onda incidente com polarização paralela como p/ o caso de onda incidente com polarização perpendicular. Observe também que para os dois casos o ângulo de reflexão  $\theta_r$  é igual ao ângulo de incidência  $\theta_i$ , isto é  $\theta_r := \theta_i$ .

**(b)**

$$\beta_1 = \frac{2 \cdot \pi \cdot f}{c} \quad \rightarrow \quad f := \frac{c \cdot \beta_1}{2 \cdot \pi} = 172.033 \text{ MHz}$$

**(c) & (d)** Para determinar o campo elétrico da onda refletida, primeiro temos que determinar a polarização da onda incidente. Da expressão de  $E_i$  na equação (A) acima observa-se que a onda incidente é uma superposição de duas ondas, uma com polarização paralela e outra com polarização perpendicular. Conforme equação (60) no slide 25 do Cap IV.2, no caso de incidência sob polarização perpendicular,  $E_i(x, z)$  tem apenas componente na direção  $y$ . E conforme equação (38) no slide 17 do Cap IV.2, no caso de incidência sob polarização paralela,  $E_i(x, z)$  possui componentes na direção  $x$  e na direção  $z$ . Conseqüentemente, é necessário decompor a onda do campo elétrico incidente  $E_i$  como a superposição da onda  $E_{iPara}$  de polarização paralela com a onda  $E_{iPerp}$  de polarização perpendicular:

$$E_i = E_{iPerp} + E_{iPara}$$

Portanto, desta decomposição  $E_i = E_{iPerp} + E_{iPara}$  e da expressão de  $E_i$  na equação (A) acima, e tendo em mente que no caso de incidência sob polarização perpendicular o campo  $E_i$  tem apenas componente na direção  $y$ , e que no caso de incidência sob polarização paralela o campo  $E_i$  possui componentes na direção  $x$  e na direção  $z$ , temos:

$$E_{iPerp}(x, z) := E_{iy} \cdot \underline{j}_- \cdot e^{-j \cdot (\beta x \cdot x + \beta z \cdot z)} \quad (F)$$

$$E_{iPara}(x, z) := (E_{ix} \cdot \underline{i}_- + E_{iz} \cdot \underline{k}_-) \cdot e^{-j \cdot (\beta x \cdot x + \beta z \cdot z)} \quad (G)$$

De (F) e (G), na coordenada ( $x = 0, z = 0$ ) onde a onda incidente  $E_i$  incide na fronteira e dá origem à onda transmitida  $E_t$  e também à onda refletida  $E_r$ , temos que as componentes nas direções  $x, y$  e  $z$  do vetor campo elétrico  $E_{iPerp}$  e as componentes nas direções  $x, y$  e  $z$  do vetor campo elétrico  $E_{iPara}$  são:

$$E_{iPerp}(0, 0) = \begin{pmatrix} 0 \\ -4 \\ 0 \end{pmatrix} \cdot \frac{V}{m} \quad E_{iPara}(0, 0) = \begin{pmatrix} 9 \\ 0 \\ -6 \end{pmatrix} \cdot \frac{V}{m}$$

e que estão de acordo com os valores do campo incidente dados no enunciado.

Na fronteira, na coordenada ( $x = 0, z = 0$ ), o vetor campo elétrico  $E_{iPerp0}$  da onda EM incidente na fronteira sob polarização perpendicular e sob ângulo de incidência  $\theta_i$  é a componente  $E_{iPerp(0,0)_1}$  na direção  $y$  do vetor campo elétrico  $E_{iPerp(0,0)}$  dado por (F) :

$$E_{iPerp0} := E_{iPerp(0,0)_1} = -4 \frac{V}{m}$$

De mesma forma, na fronteira na coordenada ( $x = 0, z = 0$ ), o vetor campo elétrico  $E_{iPara0}$  da onda EM incidente na fronteira sob polarização paralela e sob ângulo de incidência  $\theta_i$  é o vetor resultante da soma vetorial da componente  $E_{iPara(0,0)_0}$  na direção  $x$  e da componente  $E_{iPara(0,0)_2}$  na direção  $z$  do vetor campo elétrico  $E_{iPara(0,0)}$  dado por (G):

$$E_{iPara0} := \sqrt{\left(E_{iPara(0,0)_0}\right)^2 + \left(E_{iPara(0,0)_2}\right)^2} = 10.817 \frac{V}{m}$$

Note que, pelo princípio da continuidade dos campos na fronteira,  $E_{iPerp0}$  e  $E_{iPara0}$  darão origem à onda transmitida  $E_t$  e também à onda refletida  $E_r$ , que serão respectivamente obtidas a partir da aplicação dos coeficientes de reflexão  $\Gamma$  e transmissão  $T$  aos campos  $E_{iPerp0}$  e  $E_{iPara0}$  na fronteira, conforme desenvolvimento que segue:

Das definições para  $\eta_1$  e  $\eta_2$  no slide 26 do Cap IV.2, temos que as impedâncias  $\eta_1$  e  $\eta_2$  respectivas aos meios 1 e 2 são dadas por:

$$\eta_1 := \sqrt{\frac{\mu_0}{\epsilon_0}} = 376.73 \cdot \Omega$$

$$\eta_2 := \sqrt{\frac{\mu_0}{\epsilon_0 \cdot \epsilon_r}} = 251.154 \cdot \Omega$$

Os coeficientes de reflexão  $\Gamma_{\text{Para}}$  e de transmissão  $T_{\text{Para}}$  válidos para a onda EM incidindo na fronteira sob polarização paralela são dados pelas equações (52) e (53) no slide 22 do Cap IV.2:

$$\Gamma_{\text{Para}} := \frac{\eta_2 \cdot \cos(\theta_t) - \eta_1 \cdot \cos(\theta_i)}{\eta_2 \cdot \cos(\theta_t) + \eta_1 \cdot \cos(\theta_i)} = -0.147$$

$$T_{\text{Para}} := \frac{2\eta_2 \cdot \cos(\theta_i)}{\eta_2 \cdot \cos(\theta_t) + \eta_1 \cdot \cos(\theta_i)} = 0.764$$

Os coeficientes de reflexão  $\Gamma_{\text{Perp}}$  e de transmissão  $T_{\text{Perp}}$  válidos para a onda EM incidindo na fronteira sob polarização perpendicular são dados pelas equações (74) e (75) no slide 28 do Cap IV.2:

$$\Gamma_{\text{Perp}} := \frac{\eta_2 \cdot \cos(\theta_i) - \eta_1 \cdot \cos(\theta_t)}{\eta_2 \cdot \cos(\theta_i) + \eta_1 \cdot \cos(\theta_t)} = -0.252$$

$$T_{\text{Perp}} := \frac{2\eta_2 \cdot \cos(\theta_i)}{\eta_2 \cdot \cos(\theta_i) + \eta_1 \cdot \cos(\theta_t)} = 0.748$$

Das equações (40) e (42) do slide 20 do Cap IV.2, temos que para a onda EM incidindo na fronteira sob polarização paralela, o campo elétrico da onda refletida  $E_{r\text{Para}}$  e o campo elétrico  $E_{t\text{Para}}$  da onda transmitida são dados por:

$$E_{r\text{Para}}(x, z) := E_{i\text{Para}0} \cdot \Gamma_{\text{Para}} \cdot (\cos(\theta_r) \cdot \mathbf{i}_x + \sin(\theta_r) \cdot \mathbf{k}_z) \cdot e^{-j \cdot \beta_1 \cdot (x \cdot \sin(\theta_r) - z \cdot \cos(\theta_r))}$$

$$E_{t\text{Para}}(x, z) := E_{i\text{Para}0} \cdot T_{\text{Para}} \cdot (\cos(\theta_t) \cdot \mathbf{i}_x - \sin(\theta_t) \cdot \mathbf{k}_z) \cdot e^{-j \cdot \beta_2 \cdot (x \cdot \sin(\theta_t) + z \cdot \cos(\theta_t))}$$

Das equações (62) e (64) slide 26 do Cap IV.2 temos que para a onda EM incidindo na fronteira sob polarização perpendicular, o campo elétrico da onda refletida  $E_{rPerp}$  e o campo elétrico  $E_{tPerp}$  da onda transmitida são dados por:

$$E_{rPerp}(x, z) := E_{iPerp0} \cdot \Gamma_{Perp} \cdot e^{-j \cdot \beta_1 \cdot (x \cdot \sin(\theta_r) - z \cdot \cos(\theta_r))} \cdot \underline{j}_-$$

$$E_{tPerp}(x, z) := E_{iPerp0} \cdot T_{Perp} \cdot e^{-j \cdot \beta_2 \cdot (x \cdot \sin(\theta_t) + z \cdot \cos(\theta_t))} \cdot \underline{j}_-$$

Ocorre que a onda do campo elétrico  $E$  em qualquer coordenada é uma superposição da onda  $E_{Para}$  de polarização paralela com a onda  $E_{Perp}$  de polarização perpendicular, seja a onda incidente, refletida ou transmitida. Portanto, temos que:

$$E_r(x, z) := E_{rPara}(x, z) + E_{rPerp}(x, z) \quad (H)$$

$$E_t(x, z) := E_{tPara}(x, z) + E_{tPerp}(x, z) \quad (I)$$

Para o ponto P1 (na fronteira),  $x_1 = 0$  e  $z_1 = 0$  e daí, de (H) e (I) obtemos os fasores:

$$E_r(x_1, z_1) = \begin{pmatrix} -1.319 \\ 1.009 \\ -0.879 \end{pmatrix} \cdot \frac{V}{m} \quad E_t(x_1, z_1) = \begin{pmatrix} 7.681 \\ -2.991 \\ -3.057 \end{pmatrix} \cdot \frac{V}{m}$$

Para o ponto P2 (na Região 1),  $x_2 = 1 \text{ m}$  e  $z_2 = -1 \text{ m}$  e daí, de (H) e (I) obtemos os fasores:

$$E_r(x_2, z_2) = \begin{pmatrix} -0.374 - 1.264i \\ 0.286 + 0.968i \\ -0.249 - 0.843i \end{pmatrix} \cdot \frac{V}{m} \quad \overrightarrow{|E_r(x_2, z_2)|} = \begin{pmatrix} 1.319 \\ 1.009 \\ 0.879 \end{pmatrix} \cdot \frac{V}{m} \quad \arg(E_r(x_2, z_2)) = \begin{pmatrix} -106.479 \\ 73.521 \\ -106.479 \end{pmatrix} \cdot ^\circ$$

Para o ponto P3 (na Região 2),  $x_3 = 1 \text{ m}$  e  $z_3 = 1 \text{ m}$  e daí, de (H) e (I) obtemos os fasores:

$$\text{Et}(x_3, z_3) = \begin{pmatrix} 5.663 - 5.189i \\ -2.205 + 2.02i \\ -2.254 + 2.065i \end{pmatrix} \cdot \frac{\text{V}}{\text{m}} \quad \overrightarrow{|\text{Et}(x_3, z_3)|} = \begin{pmatrix} 7.681 \\ 2.991 \\ 3.057 \end{pmatrix} \cdot \frac{\text{V}}{\text{m}} \quad \arg(\text{Et}(x_3, z_3)) = \begin{pmatrix} -42.499 \\ 137.501 \\ 137.501 \end{pmatrix} \cdot ^\circ$$

**(e)** Como ambos os meios são sem perdas, a densidade de potência média é conservada em ambas Região 1 e Região 2, como também é conservada na fronteira. Daí basta calcular a densidade de potência média na fronteira. Na fronteira ( $x=0$  e  $z=0$ ) o campo  $\text{Et}$  transmitido é:

$$\text{Et}(0, 0) = \begin{pmatrix} 7.681 \\ -2.991 \\ -3.057 \end{pmatrix} \cdot \frac{\text{V}}{\text{m}}$$

Cujo módulo é obtido a partir de suas componentes nas direções  $x$ ,  $y$  e  $z$ :

$$E_o := \sqrt{(\text{Et}(0, 0)_0)^2 + (\text{Et}(0, 0)_1)^2 + (\text{Et}(0, 0)_2)^2} \quad E_o = 8.792 \cdot \frac{\text{V}}{\text{m}}$$

E daí a densidade de potência média na Região 2 (e também na Região 1) é obtida através de:

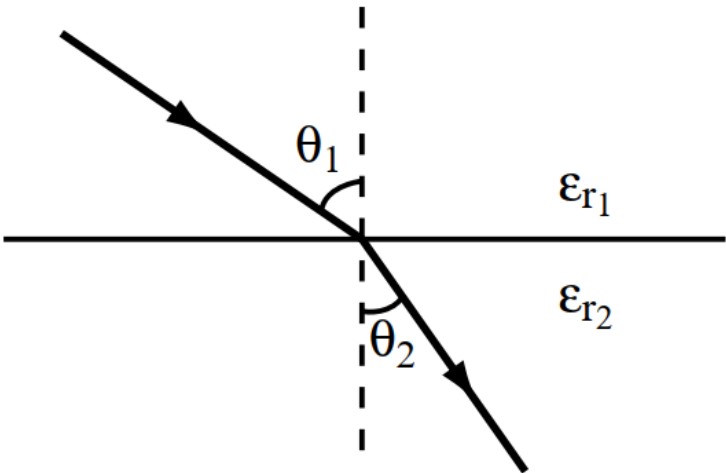
$$S := \frac{\left(\frac{E_o}{\sqrt{2}}\right)^2}{\eta_2} \quad S = 153.883 \cdot \frac{\text{mW}}{\text{m}^2}$$

(f) Da equação (44) do slide 21 do Cap IV.2 e da equação (66) do slide 27 do Cap IV.2 :

$$E_i(0,0) + E_r(0,0) - E_t(0,0) = \begin{pmatrix} 0 \\ 0 \\ -3.822 \end{pmatrix} \cdot \frac{V}{m}$$

Note no resultado acima que as componentes do campo elétrico tangenciais à fronteira (componentes x e y) se anulam entre si quando elas se superpõem na fronteira em  $x=z=0$ , o que demonstra a continuidade dos campos em ambos os lados da fronteira.

**Exemplo 2:** Uma onda EM plana com polarização paralela se propaga no ar ( $\epsilon_{r1} = 1.0$ ) e incide na fronteira com um meio dielétrico de  $\epsilon_{r2} = 9.0$  sob um ângulo de incidência  $\theta_1$ , conforme figura abaixo. O ângulo de incidência  $\theta_1$  é tal que não ocorre reflexão na fronteira (ângulo de Brewster). Determine o ângulo de refração  $\theta_2$ .



**Solução:**

Da equação (59) do slide 23 com  $\theta_1 = \theta_b$  :

$$\theta_1 := \text{atan}\left(\sqrt{\frac{\epsilon_{r2}}{\epsilon_{r1}}}\right) = 71.565^\circ$$

Da equação (56) do slide 23 com  $\theta_2 = \theta_t$  :

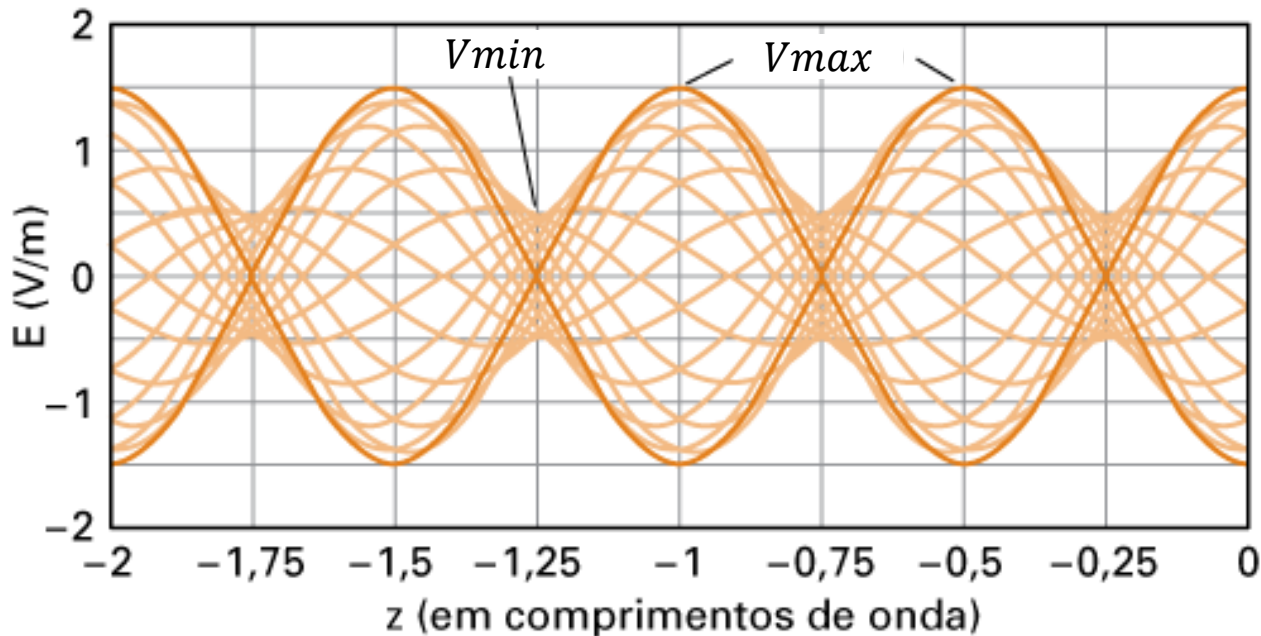
$$\theta_2 := \text{acos}\left(\sqrt{\frac{\epsilon_{r2}}{\epsilon_{r1}}} \cdot \cos(\theta_1)\right) = 18.435^\circ$$

## Ondas estacionárias

Conforme vimos no Cap IV.1, o meio 1 propaga não somente a onda incidente como também propaga a onda refletida gerada por reflexão na fronteira com o meio 2.

Ocorre que a superposição das ondas incidente e refletida produz um padrão de interferência entre a onda incidente e a onda refletida ao longo do eixo  $z$ , e esta onda resultante da interferência entre a onda incidente e a onda refletida é denominada de **onda estacionária**. Em determinadas posições  $z$  as ondas incidente e refletida se interferem construtivamente e em outras posições  $z$  se interferem destrutivamente, conforme mostra a figura abaixo. A distância no eixo  $z$  entre um valor máximo  $V_{max}$  da onda estacionária (interferência construtiva entre as ondas incidente e refletida) e um valor mínimo  $V_{min}$  (interferência destrutiva entre as ondas incidente e refletida) é sempre de  $\lambda_g/4$ .

A onda estacionária abaixo (representada pelo envelope resultante da superposição das ondas incidente e refletida em instantes de tempo distintos) é gerada por uma onda  $E^i = 1.0\cos(\omega t - \beta z)\hat{z}$  [V/m] que incide na fronteira  $z = 0$ , e que apresenta um coeficiente de reflexão  $\Gamma = E_0^r/E_0^i = 0.5$ . Como  $\Gamma = 0.5 = E_0^r/E_0^i$ , o campo  $E$  resultante da superposição das ondas incidente e refletida é dado por  $E = 1.0\cos(\omega t - \beta z)\hat{z} + 0.5\cos(\omega t + \beta z)\hat{z}$  [V/m].



⇒ Note na figura que  $|E|$  varia de 0.5 [V/m] a 1.5 [V/m] a cada  $z = \lambda_g/4$ .

⇒ As diversas ondas mostradas em laranja claro são *snapshots* (= fotos instantâneas) das ondas incidente e refletida em instantes de tempo distintos.

## Ondas estacionárias

Vamos determinar numericamente os valores de amplitude da onda estacionária  $E(z, t) = 1.0\cos(\omega t - \beta z)\hat{i} + 0.5\cos(\omega t + \beta z)\hat{i}$  resultante da superposição da onda incidente  $1.0\cos(\omega t - \beta z)\hat{i}$  [V/m] e da onda refletida  $0.5\cos(\omega t + \beta z)\hat{i}$ , conforme definido no slide anterior.

Determinando o fasor da onda estacionária  $E(z, t)$ , notando que  $\Gamma = 0.5$  é o coeficiente de reflexão:

$$\dot{E}(z) = 1.0e^{-j\beta z} + 0.5e^{j\beta z} = \frac{e^{j\beta z}}{e^{j\beta z}}(1.0e^{-j\beta z} + 0.5e^{j\beta z}) = \frac{1 + 0.5e^{2j\beta z}}{e^{j\beta z}} \text{ [V/m]}$$

Como queremos determinar a amplitude da onda estacionária, o que nos interessa é o módulo do fasor  $\dot{E}(z)$ :

$$|\dot{E}(z)| = \frac{|1 + 0.5e^{2j\beta z}|}{|e^{j\beta z}|} = |1 + 0.5e^{2j\beta z}| = \left|1 + 0.5e^{2j\frac{2\pi}{\lambda}z}\right| = \left|1 + 0.5e^{j\frac{4\pi}{\lambda}z}\right|$$

Determinando  $|\dot{E}(z)|$  para vários valores de  $z$  de interesse, obtemos:

| $z$           | $ \dot{E}(z) $        |
|---------------|-----------------------|
| 0             | $ 1+(0.5)(1.0) =1.5$  |
| $-\lambda/4$  | $ 1+(0.5)(-1.0) =0.5$ |
| $-\lambda/2$  | $ 1+(0.5)(1.0) =1.5$  |
| $-3\lambda/4$ | $ 1+(0.5)(-1.0) =0.5$ |
| $-\lambda$    | $ 1+(0.5)(1.0) =1.5$  |

Note na tabela acima que a distância no eixo  $z$  entre um valor máximo  $V_{max} = 1.5$  da onda estacionária (interferência construtiva entre as ondas incidente e refletida) e um valor mínimo  $V_{min}$  (interferência destrutiva entre as ondas incidente e refletida) é sempre de  $\lambda_g/4$ .

## ROE – Relação de Ondas Estacionárias (SWR – Standing Wave Ratio)

A razão entre a amplitude máxima  $V_{max}$  e a amplitude mínima  $V_{min}$  da onda estacionária é conhecida como **relação de onda estacionária** (ROE) ou *standing wave ratio* (SWR):

$$ROE = \frac{V_{max}}{V_{min}} = \frac{1+|\Gamma|}{1-|\Gamma|} \quad (77)$$

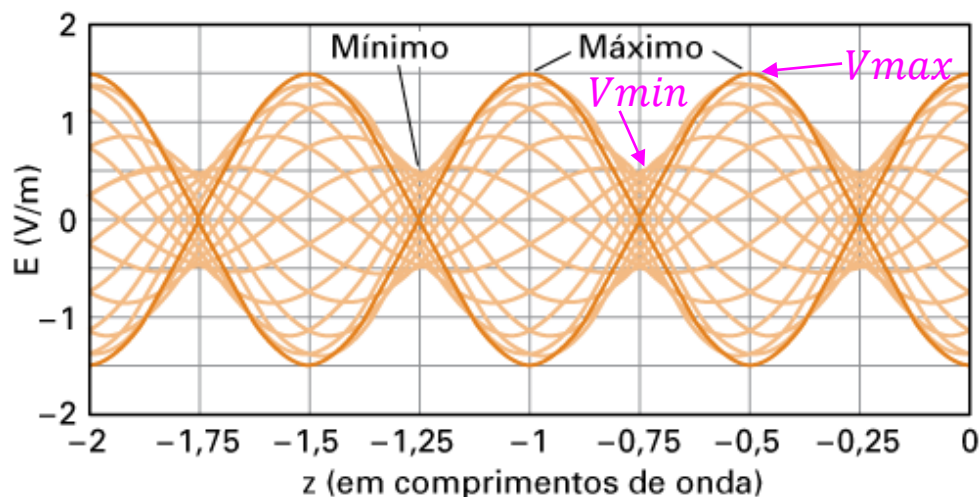
A equação (77) resulta da expressão geral do módulo fasor  $\dot{E}(z)$  que representa a amplitude da onda estacionária (numericamente discutido no slide anterior):

$$|\dot{E}(z)| = \begin{array}{c} E \text{ incidente} \\ \downarrow \\ E_0^i \end{array} + \begin{array}{c} E \text{ refletido} \\ \downarrow \\ E_0^i \Gamma e^{2j\beta z} \end{array} = |E_0^i| |1 + |\Gamma| e^{j\angle\Gamma} e^{2j\beta z}| = |E_0^i| |1 + |\Gamma| e^{j(2\beta z + \angle\Gamma)}| \quad (78)$$

Note o efeito do argumento  $2\beta z + \angle\Gamma$  da exponencial em (78):

$$2\beta z + \angle\Gamma = 0 \rightarrow e^{j(2\beta z + \angle\Gamma)} = 1 \rightarrow V_{max} = |E_0^i| |1 + |\Gamma|| = |E_0^i| (1 + |\Gamma|)$$

$$2\beta z + \angle\Gamma = \pi \rightarrow e^{j(2\beta z + \angle\Gamma)} = -1 \rightarrow V_{min} = |E_0^i| |1 - |\Gamma|| = |E_0^i| (1 - |\Gamma|)$$



$$0 \leq |\Gamma| \leq 1.0$$

# Ondas estacionária gerada na fronteira ar/condutor perfeito

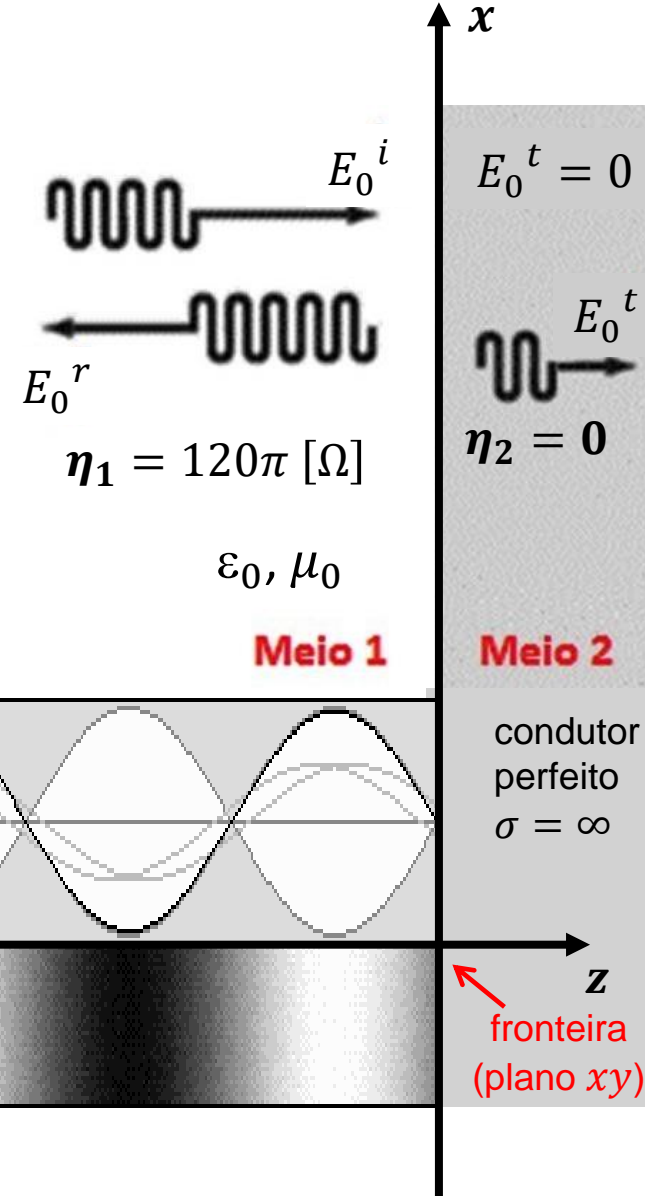
Ver animação em [https://www.fccdecastro.com.br/PPT/OLT\\_C4\\_A1S45.pptx](https://www.fccdecastro.com.br/PPT/OLT_C4_A1S45.pptx)

$$\Gamma = \frac{E_0^r}{E_0^i} = \frac{\eta_2 - \eta_1}{\eta_2 + \eta_1} = \frac{0 - 120\pi [\Omega]}{0 + 120\pi [\Omega]} = -1 = 1.0e^{j180^\circ}$$

$\Gamma = 1.0e^{j180^\circ}$  significa que a onda refletida tem mesma amplitude mas está defasada de  $180^\circ$  da onda incidente, conforme mostra a animação abaixo.

$$T = 1 + \Gamma = 0$$

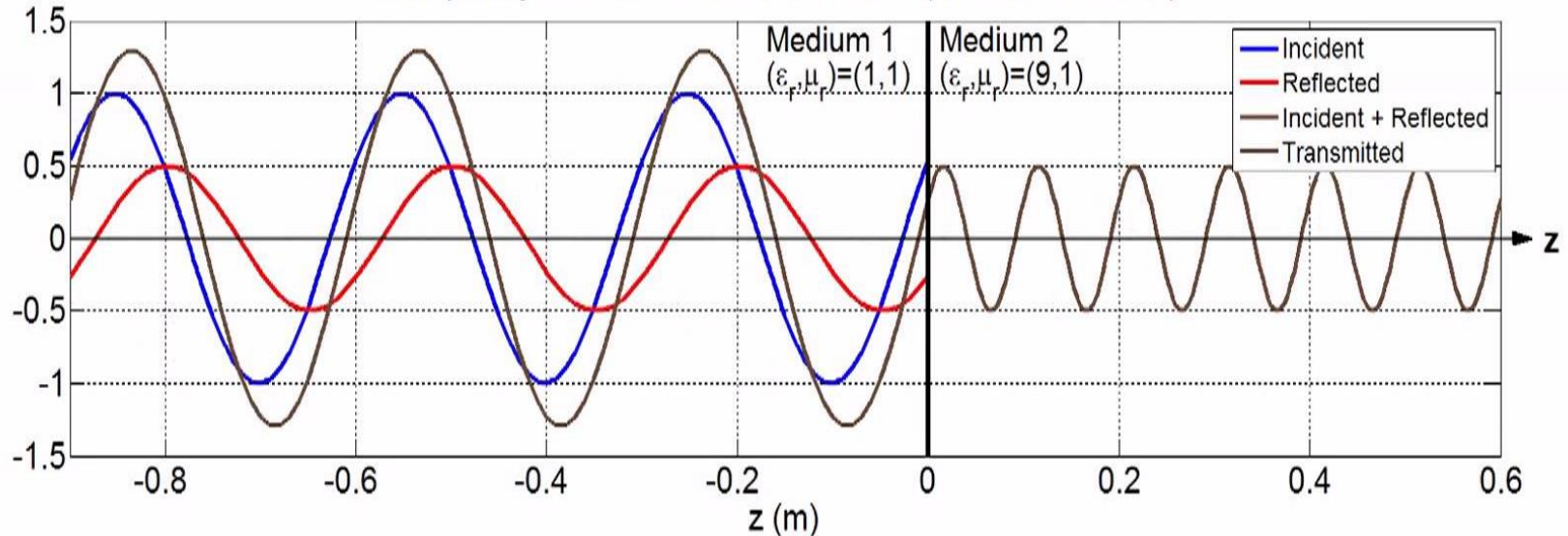
$$ROE = \frac{V_{max}}{V_{min}} = \frac{1 + |\Gamma|}{1 - |\Gamma|} = \infty$$



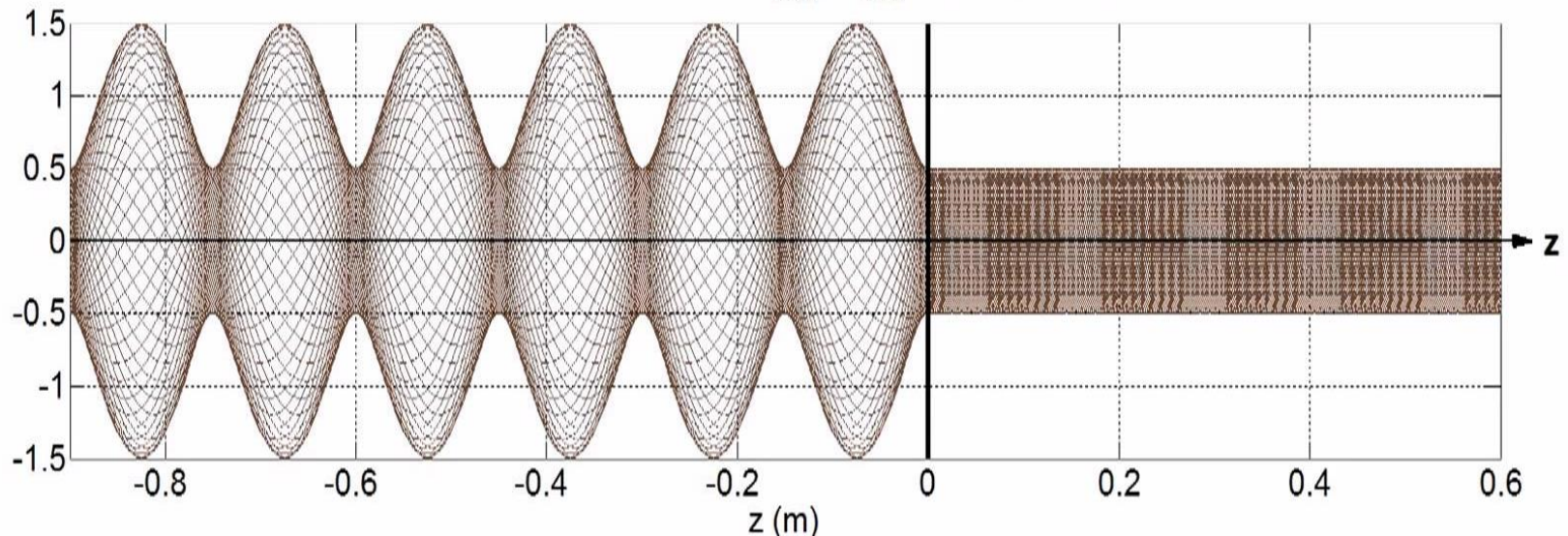
## Ondas estacionária gerada na fronteira ar/ dielétrico sem perdas

$$\Gamma = E_0^r / E_0^i = (\eta_2 - \eta_1) / (\eta_2 + \eta_1) \quad T = 1 + \Gamma \quad \eta = 120\pi \sqrt{\mu_r / \epsilon_r} \text{ } [\Omega]$$

Frequency = 1 GHz -  $t = 1.16T$  sec ( $\Gamma = -0.5$   $\tau = 0.5$ )



Standing Wave Patterns -  $\text{SWR} = |E|_{\max} / |E|_{\min} = (1 + |\Gamma|) / (1 - |\Gamma|) = 1.5 / 0.5 = 3$

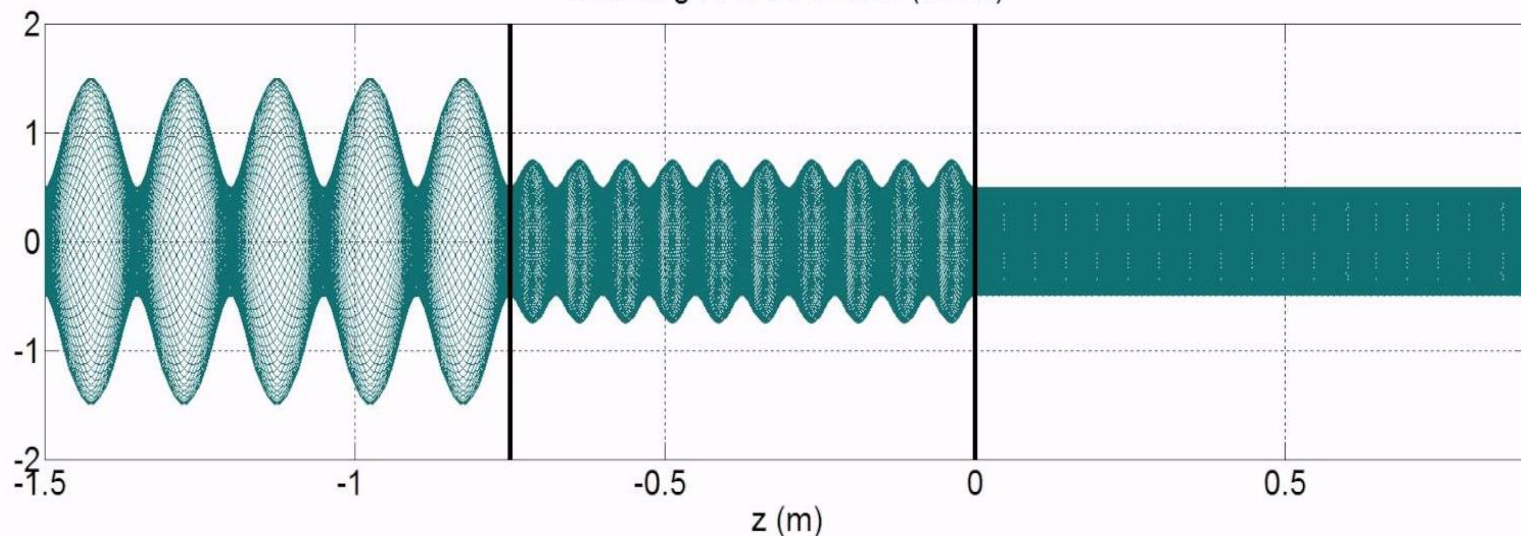
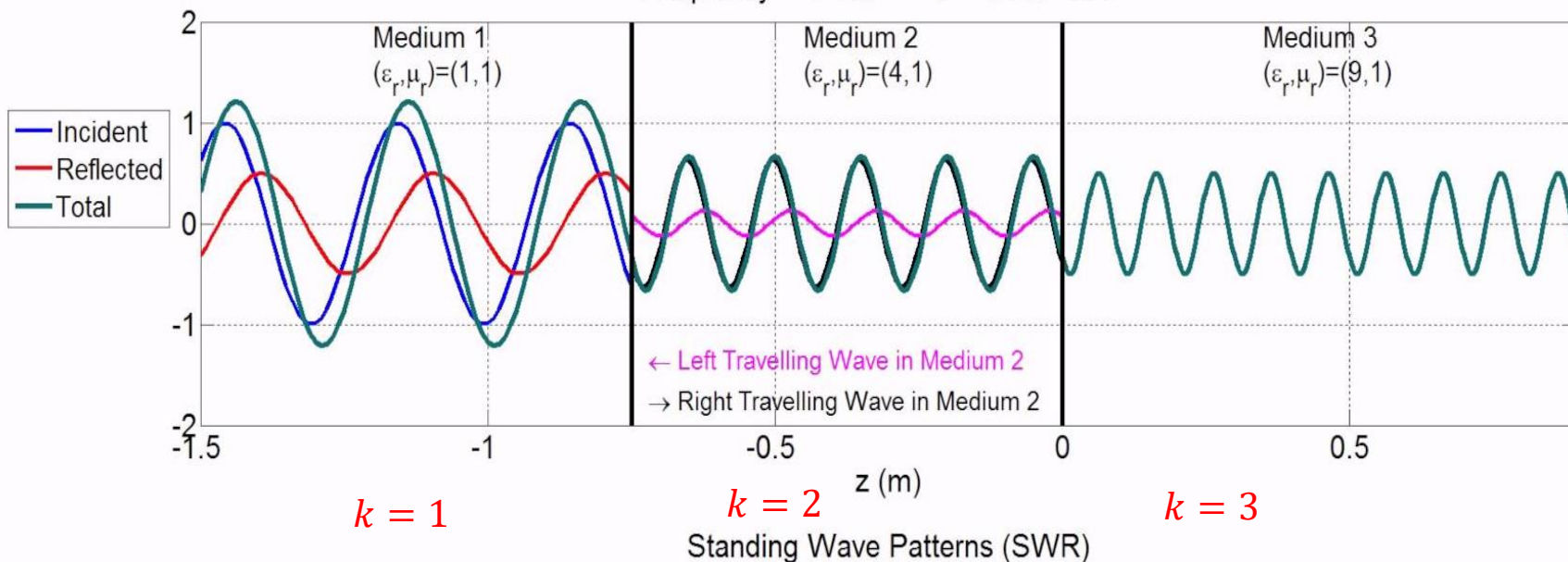


# Onda estacionárias geradas por reflexão nas fronteiras entre múltiplas camadas dielétricas

$$\Gamma_k = \frac{E_k^-}{E_k^+} = \frac{\eta_{k+1} - \eta_k}{\eta_{k+1} + \eta_k}$$

$$\eta = 120\pi \sqrt{\mu_r / \epsilon_r} \text{ } [\Omega] \quad T_k = 1 + \Gamma_k$$

Frequency = 1 GHz - t = 1.14T sec

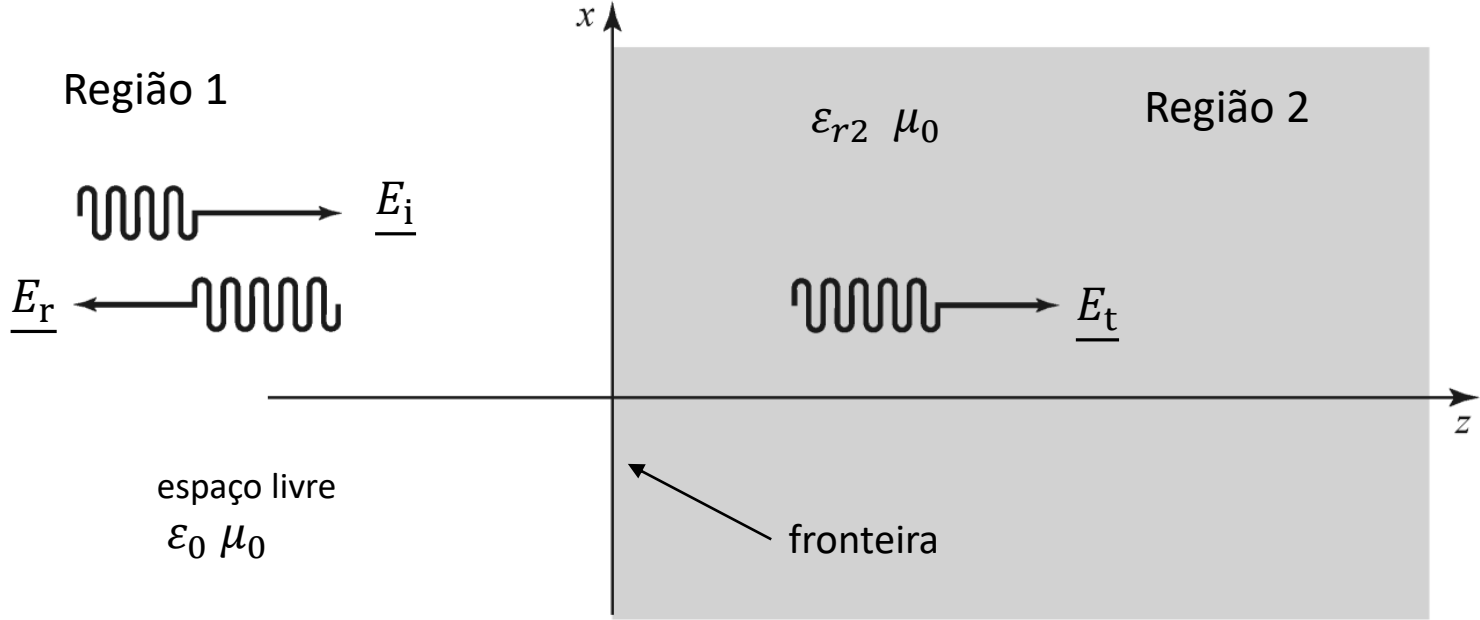


## Ondas estacionária – animação regime transiente até o regime permanente (*steady state*)



Ver animação em [https://www.fccdecastro.com.br/PPT/OLT\\_C4\\_A2S48.pptx](https://www.fccdecastro.com.br/PPT/OLT_C4_A2S48.pptx)

**Exemplo 3:** Uma onda EM plana se propaga no espaço livre ( $\epsilon_{r1} = 1.0$ ) e incide na fronteira com um meio dielétrico de permissividade  $\epsilon_{r2} = 9.0$ , conforme mostra a figura. A onda do campo incidente  $\underline{E}_i$  se reflete na fronteira gerando a onda do campo refletido  $\underline{E}_r$ . As ondas  $\underline{E}_i$  e  $\underline{E}_r$  se superpõem na Região 1, interferindo-se mutuamente ora construtivamente ora destrutivamente, e assim estabelecendo uma onda estacionária com máximos e mínimos na Região 1. **Pede-se:** Determine a razão entre os valores máximo e mínimo da onda estacionária estabelecida na Região 1 pela interferência mútua entre as ondas  $\underline{E}_i$  e  $\underline{E}_r$ .



**Solução:**

Para a solução deste exemplo vamos usar o *script* Mathcad Exemplo3.xmcd disponível em [https://www.fccdecastro.com.br/ZIP/OLT\\_C4\\_E3S49.zip](https://www.fccdecastro.com.br/ZIP/OLT_C4_E3S49.zip).

Das definições para  $\eta_1$  e  $\eta_2$  no slide 26 do Cap IV.2, temos que as impedâncias  $\eta_1$  e  $\eta_2$  respectivas às regiões 1 e 2 são dadas por:

$$\eta_1 := \sqrt{\frac{\mu_0}{\epsilon_0 \cdot \epsilon_{r1}}} = 376.73 \cdot \Omega \qquad \eta_2 := \sqrt{\frac{\mu_0}{\epsilon_0 \cdot \epsilon_{r2}}} = 125.577 \cdot \Omega$$

Da equação (17) no slide 6 do Cap IV.1, temos que o coeficiente de reflexão  $\Gamma$  na fronteira resulta em:

$$\Gamma := \frac{\eta_2 - \eta_1}{\eta_2 + \eta_1} = -0.5$$

Da equação (77) no slide 44 do Cap IV.3, temos que a razão  $V_{\max}/V_{\min} = \text{ROE}$ , resulta em:

$$\text{ROE} := \frac{1 + |\Gamma|}{1 - |\Gamma|} = 3$$